

20/05/09

Ultima ora

4.3) Sistemi di controllo: la risposta in regime permanente ad ingressi polinomiali

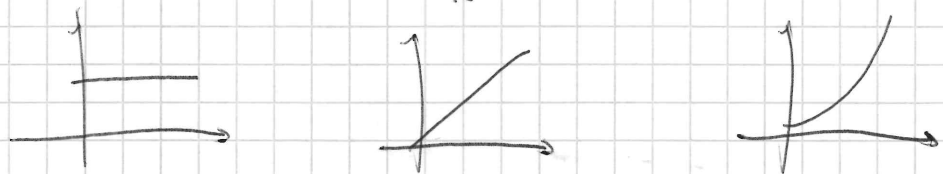
4.3.1) Conetti polinomiali

li interessano alla fedeltà di risposta in regime permanente in presenza di disturbi ingressi (reg. perm  $\rightarrow$  disturbi i transienti).

Posso limitare a studiare ingressi di questo tipo? Beh, gli ingressi polinomiali (gradino, rampa e parabola) sono più o meno sufficienti, perché permettono di studiare già molto bene i sistemi.

$$r(t) = R_0 \frac{t^k}{k!}$$

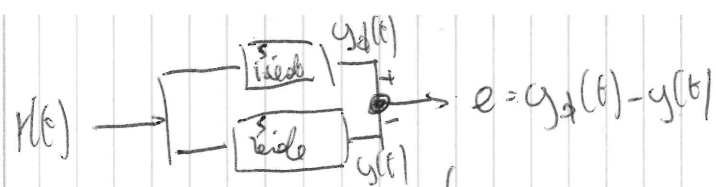
Questa è un'espressione di un segnale polinomiale. Per  $k=0, 1, 2$  si hanno rispettivamente il <sup>gradino</sup> gradino ( $r(t) = R_0 \xrightarrow{\mathcal{L}} R(s) = \frac{R_0}{s}$ ), la rampa ( $r(t) = \frac{R_0 t}{1} \xrightarrow{\mathcal{L}} \frac{R_0}{s^2}$ ); la parabola ( $r(t) = \frac{R_0 t^2}{2} \xrightarrow{\mathcal{L}} \frac{R_0}{s^3}$ )



Questi sono i primi ingredienti.

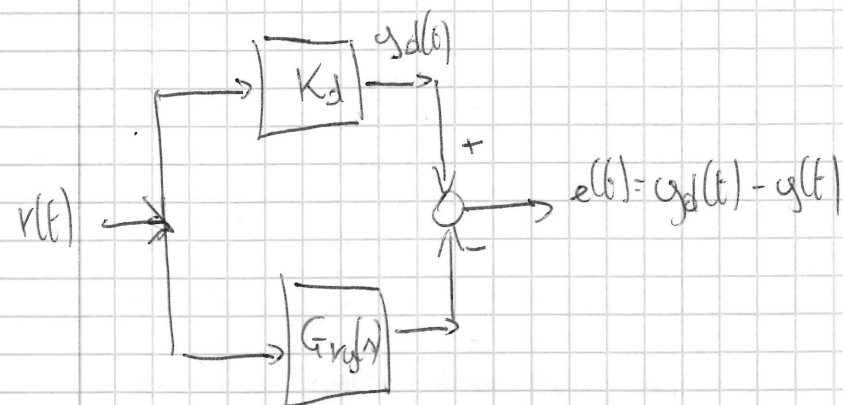
L'altro ingrediente importante per parlare di fedeltà di risposta è il "sistema errore": se vogliamo misurare la fedeltà di risposta dovremo misurare un errore.

Dato un sistema di controllo, supponiamo di testare con uno di questi segnali polinomiali, confrontandolo col sistema ideale:



$e(t)$  è l'errore. Questo è il "sistema errore".

Andrebbero dopo aver spedito ciò: in un sistema di controllo ideale si dovrebbe riprobare per poi l'ingresso a meno di una certa amplificazione. Il sistema ideale "multiplicarsi" per  $K_d$ .



Il sistema vede si può pensare come la generica  $G(s)$

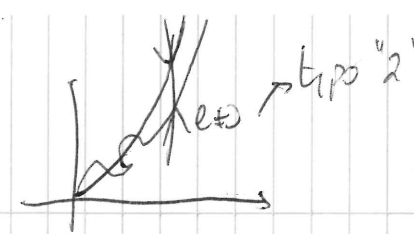
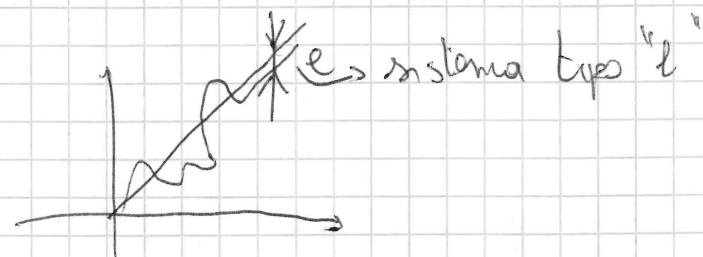
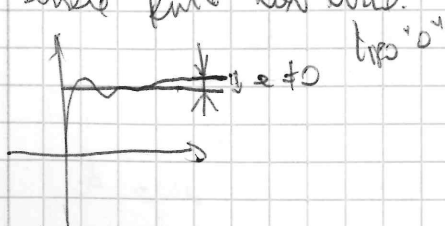
Il sistema errore è così in blocco:

$$E(s) = Y_d(s) - Y(s) = K_d R(s) - G(s) R(s) = [K_d - G(s)] R(s)$$

Questo è l'errore. La fdt tra il elemento e l'errore,  $G_{re}(s)$ , è " $K_d - G(s)$ ".

Definizione: un sistema di controllo è di tipo " $K$ " (derivato da CRONE, uplto a 0, 1, 2) se l'errore in regime permanente corrispondente all'ingresso di ordine  $K$  è pari ad una costante non nulla.

Esamato il sistema quando l'ingresso è di ordine 0, l'errore deve essere finito non zero.



Stessa cosa con la perdita:

I sistemi di controllo a retroazione del tipo sono più fedeli e meno ingenui.

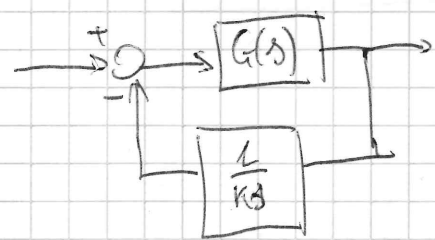
Si noti se per ora il "tipo" dipende dal segnale

Altro ingrediente:

Teorema: un sistema di controllo è di tipo " $K$ " se e solo se la funzione di trasferimento di errore ( $G_{re}(s)$ ) presenta nel punto  $s=0$  uno zero di molteplicità  $K$ .

Ciò vuol dire si "semplica" la fdt al segnale!

Data la funzione di errore, sostituiamo il  $G(s)$  dopo aver assunto ciò:



In generale si aveva  $H(s)$ , noi hanno in modo di avere nel caso di ritorno  $\frac{1}{K_d}$ .

Si può scrivere  $G(s)$  come:

$$G(s) = \frac{N(s)}{D(s)}$$

Considero  $G(s) = \frac{N(s)}{D(s)}$ ;  $G_{re}(s)$  sarà:

$$G_{re}(s) = \frac{N(s)}{1 + \frac{1}{K_d} \frac{N(s)}{D(s)}} \rightarrow \frac{N(s)}{D(s) + \frac{N(s)}{K_d}}$$

$$G_{re}(s) = K_d - G(s) = K_d - \frac{G}{1 + \frac{1}{K_d} \frac{N}{D}} = K_d - \frac{G K_d}{K_d + G} = \frac{K_d^2 + K_d G - K_d G}{K_d + G} = \frac{K_d^2}{K_d + G}$$

Questa è la "funzione errore".

Gli zeri della funzione errore sono i poli di  $G$ ? Beh, gli zeri di  $G_e$  sono i poli di  $G$ !

↓

Teorema: un sistema di controllo è di tipo  $K$  se e solo se la fdt  $G(s)$  presenta nel punto  $s=0$  un polo di molteplicità  $K$ .

Ciò allora tutti gli ingegneri per vedere, in uno di questi tre tipi di sistemi di controllo, come si comporta, con inguanti test polinomiali di ordine 0, 1, 2, vedere se fedeltà di risposta in non è nulla.

21/5/09

Il cap. 4 lo trattiamo nel 3 dell'esidari

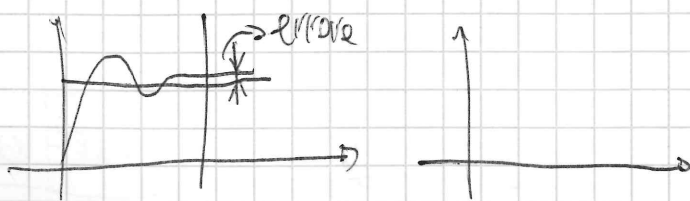
4.3.2) ~~Esidari~~

Resolvono il problema: dato un sistema dinamico, vogliamo studiare la fedeltà di risposta, con inguanti polinomiali. L'idea è: prendo moltissimi di questi inguanti, qual è l'errore nell'uscita?

Dato un gradino di ampiezza  $v_0$ , l'uscita desiderata è

$$y_d(t) = K_d \cdot v_0$$

L'uscita effettiva dipende dal tipo di sistema:

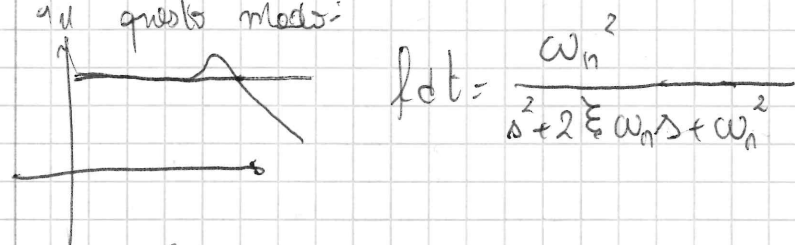


Vano e proprio!

↓

4.3.2) Caso dei sistemi retroazionati

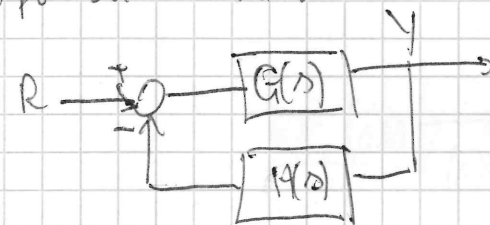
Dato ad esempio un filtro, un passa basso, che in freq. risponde in questo modo:



Ma il regime permanente non è interessante! Nemmo molto in evidenza l'errore a regime permanente!

In generale, si può porre questo problema, il fatto che in realtà mi dia qualche errore.

Nel caso di sistemi retroazionati, in generale sono questi tipi di sistemi:



Ma progettano  $H(s)$  statico; e  $G(s)$  quando è dinamico,  $H(s)$  è a "due gradi di libertà".

Si progetta un  $H(s)$  STATICO

Consideriamo alcuni casi:

$$G_{ry}(s) = \frac{Y}{R} = \frac{G(s)}{1 + G(s)H(s)}$$

Si definisce  $K_d$  il guadagno statico del sistema retroazionato:

$$K_d = \lim_{s \rightarrow 0} G_{ry}(s) \quad \left[ \text{Non quello generalizzato! Non si deve avere} \right]$$

[Non poli nell'origine!]

$$= \lim_{s \rightarrow 0} \frac{G(s)}{1 + G(s)H(s)} = \frac{G(s)}{1 + G(s) \cdot H}$$

Quando faccio il lim se  $G(s)$  ha uno o più poli nell'origine,  $G(s) \rightarrow \infty, s \rightarrow 0$ , allora il guadagno statico di  $G_{ry}$  è  $\frac{1}{H}$ :

$$K_d = \frac{1}{H}$$

$$K_H = \frac{1}{H} = \frac{1}{G_T G_G}$$

Per di  $G_T$  è dato, assegnato  $K_d$ , possiamo progettare  $G_G$ :

$$G_G = \frac{1}{G_T K_d}$$

Questo è il punto perso per il progetto!

Ripetendo il numero di poli in 0 per  $G$ , si vede il tipo!

Ad esempio, in un operando un ampli invertente è un sistema di tipo 0.

Calcolando l'errore sui vari sistemi di controllo quando il riferimento non è un gradino, una rampa, una parabola!

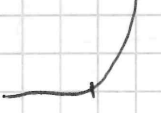
Vogliamo vedere l'errore in regime permanente:

$$E(s) = G_e(s)R(s) = \frac{K_d^2}{K_d + G(s)} R(s)$$

$$e_{ss} = \lim_{t \rightarrow \infty} e(t) = \lim_{s \rightarrow 0} s E(s) = \lim_{s \rightarrow 0} s \frac{K_d^2}{K_d + G(s)} R(s)$$

Questa sarà fondamentale!

Vogliamo disegnare una tabella con i vari tipi di riferimento, e parlare del tipo di sistema di controllo.

			
"0"	$\frac{K_d^2 R_0}{K_d + K_p}$	$\infty$	$\infty$
"1"	0	$\frac{K_d^2 R_0}{K_v}$	$\infty$
"2"	0	0	$\frac{K_d^2}{K_a} R_0$

Un sistema di tipo "0" è un sistema in cui non ci sono poli nell'origine in  $G(s)$  (pdf):

→ tipo "0"  $K_{st} = K_p = \lim_{s \rightarrow 0} G(s)$

$$e_{ss} = \lim_{s \rightarrow 0} s \frac{K_d^2}{K_d + G(s)} R(s) = \frac{K_d^2}{K_d + G(0)} R_0 = \frac{K_d^2}{K_d + K_p} R_0 = \frac{K_d^2}{K_d + K_p} G(0) = K_{st} - K_p$$

$K_d$  di posizione ↓

Se prendo un sistema di tipo 0 e mettiamo un gradino, avremo un errore finito non nullo di questo valore.

• riferimento a rampa:

$$e_{ss} = \lim_{s \rightarrow 0} s \frac{K_d^2}{K_d + G(s)} \frac{R_0}{s} =$$

Nota: facendo sto conto si tende a  $\infty$ . Il limite va a  $\infty$ !

Però esiste un aspetto: prendendo  $\frac{K_d}{s}$ , e "spendendo" su quest'altro:

$$e_{ss} = \lim_{s \rightarrow 0} s \left\{ \frac{K_d^2}{K_d + G(s)} \frac{1}{s} \right\} \frac{R_0}{s}$$

Si noti che questo conto va a  $\infty$ , ma lo dimostreremo NEL TEMPO, vedi i dati!

In regime permanente, mettendo una rampa, l'errore diverge!

Mettendo un gradino, nell'operando, si avrà un errore nullo a piacere, al variare dei parametri.

L'operando a un gradino ripete con un errore. Ma una rampa?

In regime permanente, l'errore DIVERGE! Se in un'onda triangolare si ha una rampa di lunghezza ~~costante~~ e costante rispetto alle costanti di tempo, si ha un errore! Si può limitare, ma c'è!

• Perché: stesso discorso di più.

Sistemi tipo "1":

$$K_{st} = K_V = \lim_{s \rightarrow 0} s G(s); \quad \infty$$

1. valore!

$$e_{\infty} = \lim_{s \rightarrow 0} s \frac{K_d^2}{K_d + G(s)} \frac{R_0}{s} =$$

Non facciamo la cancellazione; notiamo che:

$$e_{\infty} = \lim_{s \rightarrow 0} \frac{s K_d^2}{s K_d + s G(s)} R_0 = \frac{0}{K_V} \cdot R_0 = 0$$

Mettendo un integratore a gradino, nel un sys tipo 1, l'errore è nullo!

-Rif. a rampa:

$$e_{\infty} = \lim_{s \rightarrow 0} s \frac{K_d^2}{K_d + G(s)} \frac{R_0}{s^2} = \frac{K_d^2 R_0}{K_V} =$$

→  $K_d$  si annulla!

Con una parabolica:

$$e_{\infty} = \lim_{s \rightarrow 0} s \frac{K_d^2}{K_d + G(s)} \frac{R_0}{s^3}$$

Questo limite diverge, bisogna vederlo nel tempo come prima.

Non valgono le ipotesi del teorema del valore finale! Il limite non è finito!

Sistemi tipo "2"

$$K_{st} = K_a = \lim_{s \rightarrow 0} s^2 G(s)$$

$$\Rightarrow e_{\infty} = \lim_{s \rightarrow 0} s \cdot \frac{K_d^2 \rightarrow 0}{K_d + G(s)} \frac{R_0}{s} \cdot \frac{1}{s} \rightarrow 0!$$

→  $K_a$

Rampa

$$e_{\infty} = \lim_{s \rightarrow 0} s \cdot \frac{K_d^2}{K_d + G(s)} \frac{R_0}{s} \cdot \frac{1}{s} \rightarrow 0$$

Parabola:

$$e_{\infty} = \lim_{s \rightarrow 0} s \cdot \frac{K_d^2}{K_d + G(s)} \frac{R_0}{s^{3/2}} = \frac{K_d^2}{K_d + K_a}$$

Si noti che man mano che aumenta l'indice del tipo del sistema di controllo, questo diventa "più preciso" per il più ingegnere.

Ma si sta anche un'idea del fatto che la parabolica, del tipo, è il segnale più "difficile da inseguire" nel regime permanente.

Si sappia che purtroppo nei sistemi prestazionali COSTA, dunque avere un sistema di tipo elevato è difficile.

4.4) Sistemi di controllo: la risposta in regime permanente a disturbi addizionali

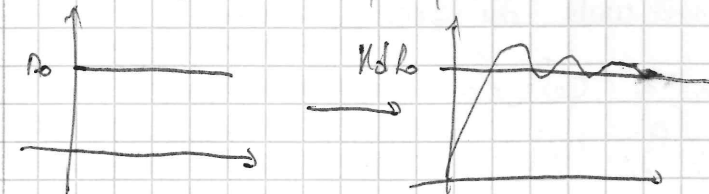
4.4.1) Disturbi polinomiali

Avremo parlato delle caratteristiche di un sistema di controllo, tra cui la possibilità di attenuare i disturbi.

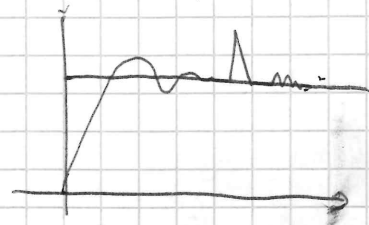
Disturbi polinomiali: non soltanto il tipo possono essere considerati nel ramo diretto. Si considerano gradino, rampa, parabola.

Allora trattate il caso dei rampanti; ed ora allora dei disturbi.

I disturbi sono ingegneri, e noi vogliamo veder come essi possono essere ed agire nell'uscita, "de effetto zero". Si suppone di avere un sistema di tipo "i": dato un elemento a gradino,  $R_0$ , l'uscita <sup>desiderata</sup> sarà  $K_a R_0$ , quella effettiva sarà con un errore a 0.



Se vi fossero disturbi, essendo il sistema lineare posso sommare gli effetti. Si può avere qualcosa di sto genere:



Esistono la causa, l'errore a quel punto, per effetto del disturbo può anche non andare a 0.

Si sta parlando dell'effetto sull'uscita dei disturbi di tipo polinomiale.

NOTA: NON si usano i risultati precedenti per gestire i disturbi!

Usano una strada formale: devono definire l'errore sull'uscita, tipo ieri con errore di-

$$E^{r,de}(s) = Y(s) - Y_d(s) = G_{ry}(s)R(s) + G_{dy}(s)D(s) - K_d R(s) =$$

l'uscita effettiva è la ~~summa~~ <sup>somma</sup> dei ~~contributi~~ contributi

Si verifica che l'errore in regime permanente, quando c'è un disturbo  $r$  e  $d$  è:

$$e^{r,de} = \lim_{s \rightarrow 0} s E^{r,de}(s) = \lim_{s \rightarrow 0} s \{ (G_{ry}(s) - K_d)R(s) + G_{dy}(s)D(s) \}$$

Ma sappiamo che

$$K_d = \lim_{s \rightarrow 0} G_{ry}(s)$$

Ma quindi la prima va a 0!

$$\rightarrow e^{r,de} = \lim_{s \rightarrow 0} \{ s G_{dy}(s) D(s) \}$$

Ciò si usano così: l'errore sull'uscita, quando c'è un determinato disturbo, coincide con il contributo sull'uscita di quel disturbo!

Prendendo tutto come quel disturbo, si calcola il contributo sull'uscita solo del disturbo!

Esempio

Supponiamo che agisca come di un disturbo polinomiale. Possiamo sempre trovare un errore sull'uscita quando c'è:

$$E^{de}(s) = Y^{de}(s)$$

L'errore sull'uscita per  $d$ :

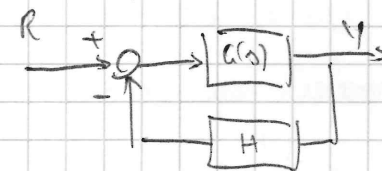
$$= G_{dy}(s) D(s) \quad \dots$$

$$G_{dy}(s) = \frac{G_p(s)}{1 - \{G_p(s)G_c(s)G(s)A\}} D(s)$$

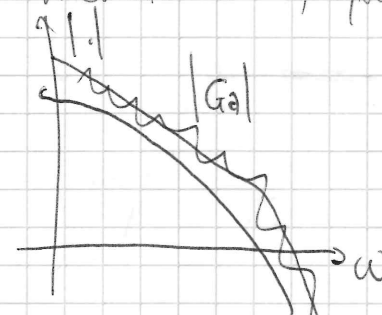
Nota: la fat da qualche punto non sempre tutte lo stesso denominatore!

4,4,2) Disturbi sinusoidali

Prendiamo, prima di altri disturbi, la risposta in frequenza di un tipico sistema di controllo



Qual è la risposta in frequenza del sistema? <sup>Supponiamo</sup> ~~l'errore~~ la funzione di quello  $G_a = G(s)H$  nei sistemi di controllo analizziamo questo andamento in frequenza:



Com'è la  $G_{ry}$ ?

$$G_{ry}(s) = \frac{G(s)}{1 + H(s)G(s)}$$

Comprendiamo un altro la fat del sistema risponde con errore

unitaria.

$$G_{eq}(s) = \frac{G(s)}{1+HG(s)} = \frac{1}{H} \frac{G(s) \cdot H}{1+G(s)H}$$

$\frac{G_d}{1+G_d}$  è chiamata "funzione di trasferimento";

$$T_{AF} = \frac{G_d}{1+G_d}$$

ed è anche chiamata "funzione di sensibilità complementare".

Mentre la "funzione di sensibilità",  $S(s)$ , vale:

$$S(s) = \frac{1}{1+G_d(s)}$$

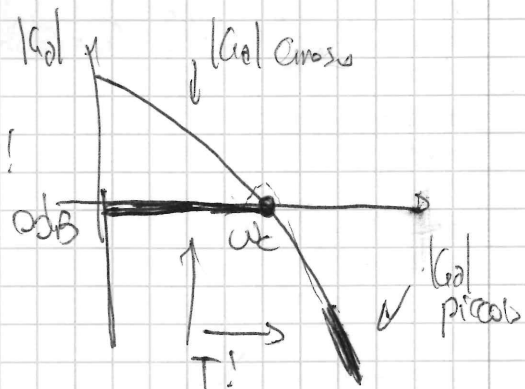
$$T(s) + S(s) = 1 \quad \forall s \in \mathbb{C}$$

Se quella di punto, lo  $\Delta$   $G_d(\omega)$ , vorrei sapere con  
si può disegnare  $T(j\omega)$  e  $S(j\omega)$ ;

$$T(j\omega) \begin{cases} \approx 1 & |\omega| \ll 1 \\ \approx 0 & |\omega| \gg 1 \end{cases}$$

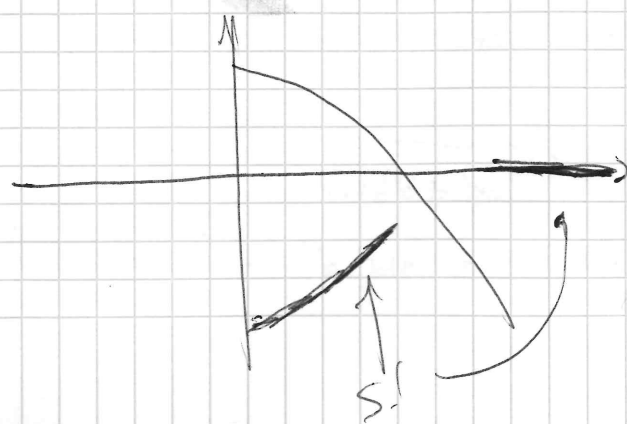
Vedere i limiti:  $T \rightarrow 1$ ,  $|\omega| \gg 1$ !

Se  $|\omega| \ll 1$ ,  $T \approx G_d$



Per la funzione di sensibilità, se  $|\omega| \gg 1$ ,

$$S(j\omega) \begin{cases} \approx \frac{1}{G_d} & |\omega| \gg 1 \\ \approx 1 & |\omega| \ll 1 \end{cases}$$



Peraltro,  $T$  e  $S$  non gli stessi poli.

Si parla di alta frequenza e bassa frequenza;  $\omega_c$  è importante;  
è la frequenza in cui la funzione di quello vale "1", 0 dB.  
Ora parliamo di disturbi sinusoidali.

$$d_2(t) = a_2 \sin(\omega_2 t) \quad \forall \underline{\omega}_2 \leq \omega_2 \leq \bar{\omega}_2 \leftarrow \text{Bounds!}$$

La larghezza di banda si può calcolare a -3 dB; particolarmente  
ad, vogliamo trattare il caso di disturbi sinusoidali.

Per ora consideriamo nel senso principale, per nulla rigoroso.

Se c'è un disturbo non siamo molto infornati di esso. Potremo  
considerare  $a_2$ , o altro!

Dati  $a_2$  e i bound su  $\omega_2$   $\mathcal{E} = \omega_2 \in [\underline{\omega}_2; \bar{\omega}_2]$

Vogliamo quantificare il contributo massimo in  $d_2$ , in modo da  
progettare di conseguenza il sistema.

L'errore deve essere limitato:

$$|e^{d_2}| \leq \mathcal{E}$$

Il contributo nell'uscita quando c'è un disturbo è:

$$E^{d_2}(s) = Y^{d_2}(s) = G_d(s) D_2(s) = D_2(s) \cdot \frac{G_d(s)}{1 - \{G_T \cdot G_Y \cdot (-1) \cdot G_d(s) \cdot A \cdot G_P(s)\}}$$

$$= G_d(s) \cdot \frac{1}{1+G_d} D_2(s) = G_d(s) S(s) D_2(s)$$

Facciamo un'ipotesi: il fatto che  $G_d(s) = 1$ . Per la misurazione

$$\Rightarrow E^{d_2}(s) = S(s) D_2(s)$$

DOMANDA: ma se un sistema è di un certo "tipo", ma se questo ha poli complessi, non sulla retta? Ma la storia del "subito rinascente"?

Li deve essere in cinto un oscillatore la risposta a un segnale rinascente.

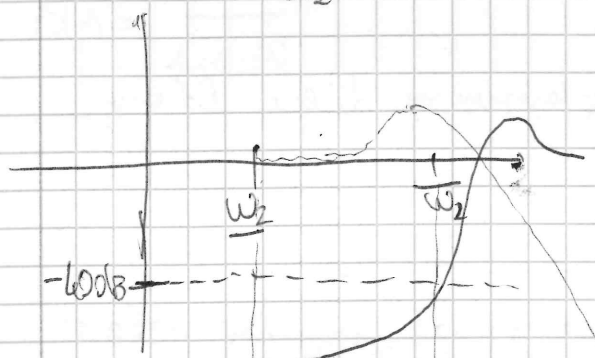
$$e^{j\omega t} = y^{de}(t) = a_2 \cdot |S(j\omega_2)| \sin(\omega_2 t + \varphi)$$

$$|e^{j\omega}| \leq g_2 \Rightarrow a_2 |S(j\omega)| \leq g_2 \quad \forall \omega_2 \in [\underline{\omega}_2; \bar{\omega}_2]$$

Allora basotto il modulo di  $g$  nel modulo  $\omega$  in un modo sulla funzione di sensibilità!

$$|S(j\omega_2)| \leq \frac{g_2}{a_2}$$

Se la risposta del disturbo è in un intervallo, la costante deve essere in tutto l'intervallo. Supponiamo che  $\frac{g_2}{a_2} = -40 \text{ dB}$



Da questa specifica hanno dato la funzione di sensibilità del mio fatto in questo modo.

Funzione  $S$ , funzione anche  $T$ .

Allora un disturbo misurabile sul ramo stretto e abbiamo attenuato.

Per farlo, dobbiamo fare una funzione di sensibilità molto bassa, spingere  $\omega_c$  e  $\omega_b$  per alte frequenze. Allora, la larghezza di banda del sistema deve essere la più larga possibile, per attuarci più vicino.

Altro caso: ramo di variaz

$$d_t(t) = a_1 \sin(\omega_1 t) \quad \forall \omega_1 \leq \omega_c$$

Lo dice da il disturbo misurabile di solito è un disturbo ad alta frequenza.

Summo cosa capita quando nasce solo  $d_t$ :

$$e^{j\omega t} = y^{dt}(t) =$$

$$E(s) = Y^{dt}(s) = G_{dt} G(s) D(s) = \frac{-G_{dt} G(s) A G_p(s)}{1 + G_a} D(s)$$

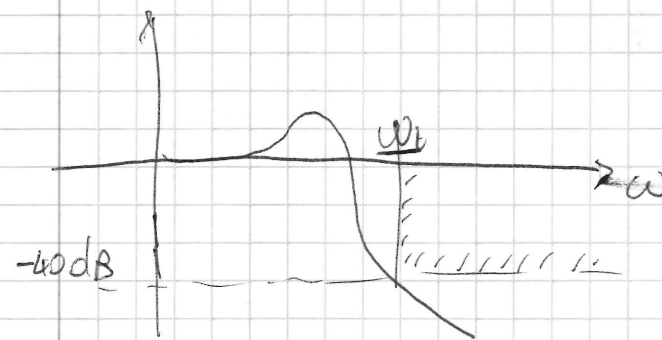
$$= \frac{1}{G_t} \cdot \frac{-G_a}{1 + G_a} D_t(s) = -\frac{1}{G_t} T(s) D_t(s)$$

$$e^{j\omega t} = Y^{dt}(t) = a_t \cdot \frac{1}{G_t} |T(j\omega)| \sin(\omega t + \varphi_t)$$

$$|e^{j\omega}| \leq g_t \Rightarrow a_t \frac{1}{G_t} |T(j\omega)| \leq g_t$$

$T$  in modulo deve soddisfare:

$$|T(j\omega)| \leq \frac{g_t G_t}{a_t} \quad \forall \omega_t \geq \omega_c$$



La  $T$  deve stare, da  $\omega_c$  in poi, sempre al di sotto del valore limite!

Lo significa che ho un vincolo su  $T$ . Bisogna fare un conto che  $T$  sta sotto questa maschera! per far ciò, deve CHIUDERE LA BANDA! La  $\omega_c$  dà un limite superiore per la banda di controllo!  $\omega_c$  è l'opposto di quello di power! Bisogna tagliare la banda per attenuare il rumore

4.5) La sensibilità alle variazioni parametriche  
 di si sta ponendo il seguente quesito:



Il sistema di controllo deve far in modo da ottenere disturbi polynomiali  
 ma anche parametrici!  $\delta G$  e  $\delta H$ !

Sulle fdt possono esserci variazioni di parametri da modificare le loro  
 caratteristiche!

Come cambia il comportamento del sistema di controllo e la sua  
 fdt?

Si definiscono le funzioni di sensibilità, due casi: variazioni solo su G  
 e solo su H.

I° caso

Definiamo la funzione di sensibilità  $S_G$  di  $G_{sys}$  rispetto a G.

Sono variazioni di tipo relativo di  $G_{sys}$  rispetto a  $G_{sys}$  nominale, rispetto  
 le variazioni di G rispetto a G nominale:

$$S_G = \frac{\frac{\delta G_{sys}}{G_{sys}}}{\frac{\delta G}{G}} = \frac{\delta G_{sys}}{\delta G} \cdot \frac{G}{G_{sys}}$$

Quanto vale quella funzione su quella struttura? Beh, si fa  
 ciò sulla  $G_{sys}$ ! Si ha che:

$$S_G = \frac{1}{1+G_a}$$

II° caso:

$$S_H = \frac{\delta G_{sys}}{\delta H} \cdot \frac{H}{G_{sys}}$$

Nel nostro caso:  $\frac{\delta G_{sys}}{\delta H} = \frac{-G_a}{1+G_a}$

Le rappresentazioni hanno in frequenza ste cose? Beh, quella del I°  
 caso ha 6 flange di sensibilità finora unitari; l'altra è simile a T!  
 In modulo è pari a T. Ste due funzioni sono complementari!

Questi due moduli sono in contrasto tra loro!

Per avere piccole variazioni su G, S deve essere piccolo! Ma a  
 bassa frequenza, S è piccolo! Le variazioni su G, sono piccole,  
 A BASSA FREQ. Aumentando la frequenza S vale sempre più!

Intanto a quella frequenza, se ho variazioni su G, me lo vedo più  
 più! Sulla f.d.t.  $G_{sys} \frac{\delta G_{sys}}{G_{sys}} = S_H \frac{\delta H}{H}$

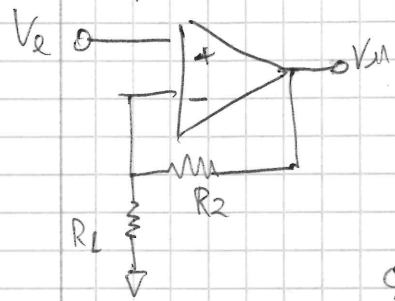
Se ho due variazioni su H, la funzione di sensibilità da  
 usare è quella che assomiglia a T! Guardando le variazioni su  
 $G_{sys}$ , quando il diagramma di T, è vedo le cose di più!

$$\frac{\delta G_{sys}}{G_{sys}} = S_H \frac{\delta H}{H}$$

Non potrà attenuare tanto nel caso di variazioni! Quindi, dovrà  
 SPERARE, più si varia un oggetto se non dovrà introdurre disturbi!  
~~alla sua stessa frequenza!~~ **GUARDA LE FIGURE DI PRIMA!**

Si ottiene con un fatto puramente grafici di S e T a scelta  
 di dove sta.

Esempio



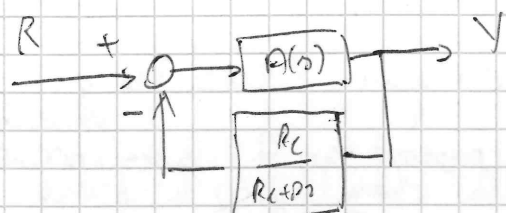
$$A(s) = \frac{A_0}{(1 + \frac{s}{\omega_1})(1 + \frac{s}{\omega_2})} \quad A_0 \in [10^5 \div 10^7]$$

normale particolare

Si si chiede: se si carica l'opamp, di cui generalizza da una mensura lo stesso guadagno?

$$\omega_1 \approx 10 \text{ rad/s}, \quad \omega_2 \approx 10^6 \text{ rad/s}$$

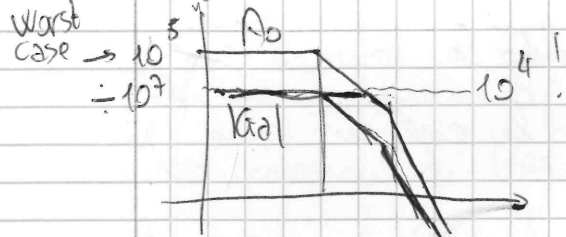
$$R_1 = 1 \text{ k}\Omega; \quad R_2 = 10 \text{ k}\Omega$$



$$\frac{\Delta A_0}{A_{opamp}} = \frac{10^4 - 10^5}{10^5} \approx \frac{10^3}{10^5} = 10^{-2} \quad \Rightarrow \quad \approx 1000\%$$

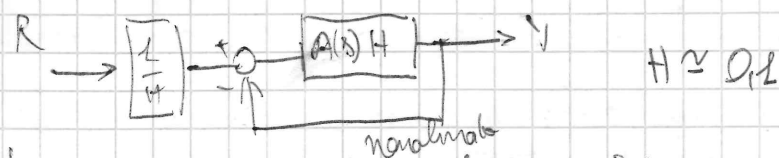
Questa è una variazione della del 1000%

A(s) da sto sistema:



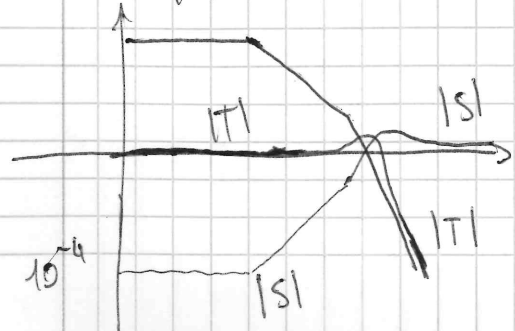
La  $|G|$  è "traslate" di 10, la  $G_{gr}$  è parte da  $10^4$  e ridimensione l'altra, ma più equivo.

Considerano reazione unitaria:



Lo zero in squalera  $V_{di}$  in  $10$  ( $H=0.1$ ); è  $|G|$ !

La  $|S|$  è area unitaria?



C'è uno simile messo in evidenza: con varia  $G_{gr}$  rispetto un mondo grande, uso la funzione di sensibilità rispetto a  $A_0$ ,  $\frac{\Delta A_0}{A_{opamp}} \rightarrow 10000\%$ .

Supponiamo di usare sto quanto a bassa frequenza. Qui la funzione di sensibilità è la  $10^{-4}$ , la "normale". In questa zona di frequenza,  $\frac{\Delta A_0}{A_{opamp}} = 10^{-4}$ . Cambia dell'1% il guadagno, ed è un caso proprio spiegato! Un caso molto patologico!

Perché potrebbero sistemi di controllo con guadagno alto in bassa frequenza, non interessarsi a tutta la funzione "S" di sensibilità, sul ramo diretto; supponiamo di avere un buon trasduttore nella retroazione.

### 22/5/05 | Guida al laboratorio

#### Baro il 1° problema | 46) Introduzione ai problemi di laboratorio

Sistema di controllo; per noi generalmente  $G_r = 1$ ;  $d_1, d_2$  polinomiali =  $\gamma_1, \gamma_2$ ;  $\frac{d_1}{d_2}$  è un gradino, da una rampa.

Rapporto di scala  $\leftrightarrow$  guadagno statico  $\leftrightarrow K_d$

Bisogna trovare  $G_r$  e  $G_{gr}$ , solo "struttura e pesanti", la "parte statica", quello che si può dedurre dalle caratteristiche di precisione!

$$1) \quad K_d = 1 \rightarrow H = \frac{1}{K_d} \quad \text{tutto ciò che sta nel ramo di ritorno}$$

$$= G_r \cdot G_{gr} \rightarrow G_r \text{ è dato, } K_d \text{ è dato, si ricava } G_{gr}! \quad G_{gr} = \frac{1}{K_d G_r} = 1$$

2) Errore in regime permanente causato da  $0,2$ .  $2$  è una RAMPA;  
 l'errore deve essere finito non nullo.

Rispettare le specifiche in maniera STRETTA!

È richiesto che l'errore in presenza di rampa unitaria sia finito e non nullo. Il sistema DEVE essere di tipo "1".

All'esame, se scegli il tipo di sistema, ~~non~~ BOCCIATO.

È necessario mettere un polo nell'origine in  $G_c$ ? Beh, il sistema è di tipo "1";

$$G = G_c \cdot A \cdot G_p!$$

{ l'è già un polo nell'origine in  $G$ ? Beh, sì. C'è in  $G_p$ . Non è }  
 { necessario avere poli in  $G_c$ ! }

Nella forma generale,  $G_c(s)$  avrà forma del tipo:

$$G_c(s) = \frac{K_c}{s^r}$$

$\Rightarrow r=0$ : il controllore  $G_c$  non dovrà avere ALTRI poli nell'origine!

Dalla tabella:

$$\left| e_{\infty}^r \right| = \frac{K_d^{2 \leftarrow 1}}{K_v} R_0 \leq 0,15 \rightarrow \frac{1}{K_v} \leq 0,15 \rightarrow \text{~~XXXXXXXXXX~~}$$

↑                    ↑  
incognita        1

Si ricordi che:

$$K_v = \lim_{s \rightarrow 0} s \cdot G(s) \Rightarrow \text{IL QUADRO STAZIONARIO DI G!}$$

$$\lim_{s \rightarrow 0} s G_c(s) A G_p(s)$$

$$\begin{aligned} \hookrightarrow &= \frac{K_c}{s} = \boxed{K_c} \text{ Con il nome } K_c! \\ \hookrightarrow &= A K_c \frac{25}{2} \end{aligned}$$

$$\left| e_{\infty}^r \right| = \left| \frac{1}{A K_c \frac{25}{2}} \right| \leq 0,15 \Rightarrow |K_c| \geq$$

$$\rightarrow \underline{5,616} = K_c$$

3) NON usare la tabella e fare i conti. LA TABELLA serve SOLO per il riferimento.

$$d_u(t) = 8t, \quad |y_e| = 5,5 \cdot 10^{-3}$$

Si scrive questo errore, se ne calcola il contributo; allora trovare:

$$e_{\infty}^{d_u}(s) = \frac{d_u(s)}{1 + G_c \cdot G_p \cdot A \cdot G_p} = \frac{G_p(s)}{1 + G_c \cdot G_p \cdot A \cdot G_p} D_u(s)$$

$$\left| e_{\infty}^{d_u} \right| = \lim_{s \rightarrow 0} s e_{\infty}^{d_u}(s) = \lim_{s \rightarrow 0} s \frac{G_p}{1 + G_c G_p A G_p} \frac{8t}{s}$$

Supponiamo di non aver scelto il tipo del controllore!

Il valore di  $r$  tale per cui il limite è finito non nullo, sarà  $0$ ! Da qua ANCHE si può indire il tipo del controllore, di  $G_c$ !

Facciamo il calcolo:

$$\Rightarrow \frac{G_p(0)}{1 + G_c G_p A G_p(0)} K_c \max \{ y_e \} \stackrel{0,015}{\leq}$$

$$\rightarrow \frac{25K}{1 + 1 \cdot 0,095 \cdot 25 \cdot K_c} \frac{y_e}{s} = \max \{ y_e \}$$

$$K_c = \underline{3,8597} ? \quad \underline{3,86} !$$

Si noti che stiamo trattando separatamente le costanti. Il valore di  $K_c$  è quello più grosso!

$$4) E^{d2}(s) = Y^{d2}(s) = D_2(s) \cdot \frac{G_d(s)}{1 + G_c(s)G_p(s)} ;$$

$$|e^{d2}| = \lim_{s \rightarrow 0} s \dots = \frac{3,5 \cdot 10^{-3}}{s^2} \cdot \frac{1}{1 + \frac{25}{2} \cdot s \cdot 0,055} \approx 7,5 \cdot 10^{-4}$$

↓  
L' "1" si "trascura", perché  $\mathcal{L}\{f_c\} = \frac{f_c}{s}$ , al limite con  $s$  grande.

Il sistema risultante è stabile o instabile?

27/05/08

4.7) La risposta transitoria di sistemi di controllo con retroazione

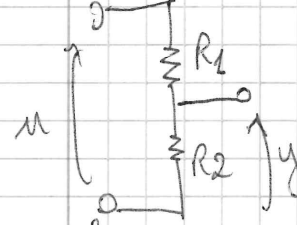
Avremo affrontato il problema della fedeltà di uscita in particolari condizioni: regime permanente, e elementi puramente integratori. Si può includere un processo dinamico.

Ubbando invece scoperci del transitorio, l'analisi ~~per~~ formale si complica sensibilmente.

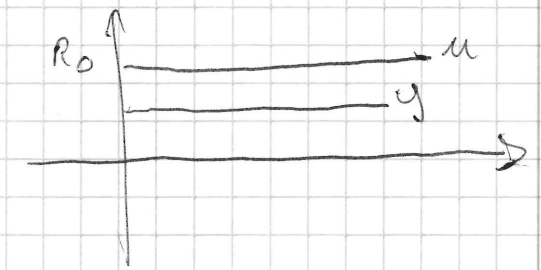
Bisogna trovare "criteri"; la prima è quella di considerare la risposta al transitorio per un ingresso a gradino. Questo perché è il segnale di ingresso più "esigente" all'uscita per il transitorio, per la discontinuità in 0 (o altro con più smooth).

I sistemi di controllo progettati in qualche modo possono essere considerati a un qualche sistema "ideale prototipo"? Beh, sì; si può individuare una "dinamica dominante del II° ordine"; ciò che regola il transitorio è una coppia di poli complessi coniugati. Non ci son solo loro, ma "dominano".

Esempio  
Perché ci si pone il problema del transitorio? Consideriamo ciò:

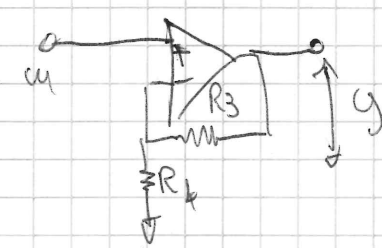


$$y = \frac{R_2}{R_1 + R_2} u$$



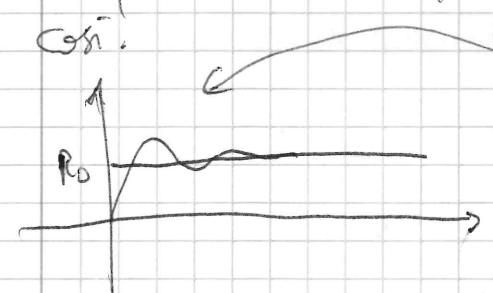
Legame STATICO tra ingresso e uscita!  
Mettendo un ingresso a gradino  $R_0$ , la risposta, sarà immediata. Ugualmente, a meno di un fattore di scala.

Altro esempio:

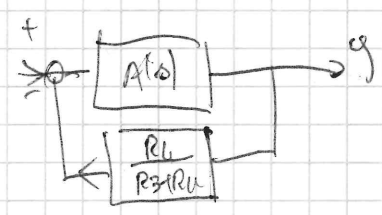


$$\frac{y}{u} \approx 1 + \frac{R_3}{R_4} ?$$

Beh, no! Facciamoci qui, il legame è statico! E no! Non è così!  
la risposta ha qualcosa di questo tipo! La ~~uscita~~ uscita non segue praticamente l'ingresso!

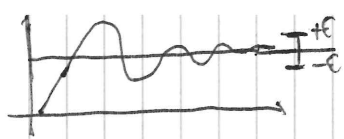


Nel transitorio, il legame statico è insufficiente! Serve ciò:



Su un sistema dinamico, l'uscita non segue <sup>immediatamente</sup> l'ingresso!

4.7.1) Comportamento generale nel tempo  
Parlando della risposta a gradino nel transitorio, ci si aspetta che il sistema risponda in un certo modo.



Cio' che si può notare è che l'uscita avrà dinami oscillanti; ciò che è importante è che i parametri da mettere in evidenza per caratterizzare la risposta al transitorio è il tempo di salita. Una è quella che indica il tempo per passare dal 10% al 90% del valore a regime.

La definizione di cui usiamo è il tempo di salita e il tempo impiegato a raggiungere per la 1ª volta il valore di regime permanentemente. "ts"

Overdamping: si definisce come il valore massimo, meno il valore in reg. permanente, diviso il valore in reg. perm (s. relativa):

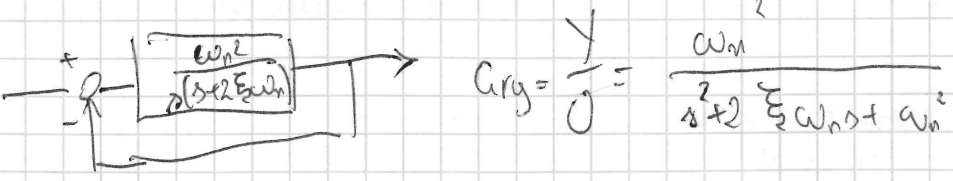
$$\delta = \frac{y_{max} - y_{\infty}}{y_{\infty}}$$

Da sovradamping da un'idea di quanto si avvicina all'asse jw; più il  $\xi$  è basso, più il sistema è instabile, più la sovrall. è alta!

Tempo di arrestamento: tempo che impiega la risposta a entrare in un fascia a  $\pm \epsilon$ ; di solito si ha 1%, 2%, 5%, rispetto al valore finale.

4.7.2) Parametri della risposta al gradino di sistemi prototipo del II° ordine.

Dato un sistema di tale genere:



È detto "s. prototipo del II° ordine"

Prendiamo un sistema del tipo:  $G(s) = \frac{1}{s^2 + 2\xi\omega_n s + \omega_n^2}$  mettiamo un qualche numero, l'uscita sarà:

$$Y(s) = G(s)U(s) \quad U(s) = \frac{1}{s}$$

Analizzandolo, si dimostra che nel tempo si ha una cosa del tipo:

$$y(t) = 1 - \frac{1}{\sqrt{1-\xi^2}} e^{-\xi\omega_n t} \sin \left\{ \omega_n t \sqrt{1-\xi^2} + \arctan \frac{\sqrt{1-\xi^2}}{\xi} \right\}$$

Che valori assumono quei tre parametri (sovrall., ts, ecc)?

Si dimostra a modo di derivata da:

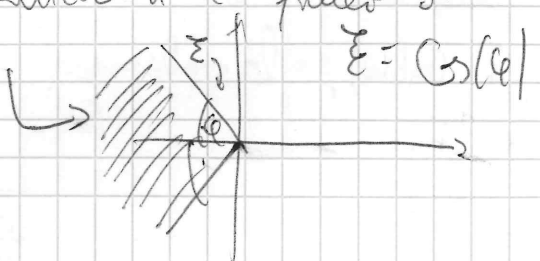
$$\delta = e^{-\frac{\pi\xi}{\sqrt{1-\xi^2}}} = f_1(\xi)$$

Questa formula si può usare sia in fase di analisi sia in fase di progetto: dato qualche numero da trovare si può progettare la posizione di poli complessi coniugati: si inverte la formula, e si trova:

$$\xi = \frac{\ln(\delta)}{\sqrt{\ln(\delta)^2 + \left(\frac{\pi}{\ln(\delta)}\right)^2}}$$

Dire che  $\delta$  è inferiore a un certo  $\delta_0$ , significa dire che  $\xi$  deve essere maggiore o uguale a un certo  $\xi_0$ : bisogna essere almeno un certo smorzamento dei poli.

Un criterio per trovare poli/zeri è quello di posizionarli su questo rettangolo. Con si impone lo smorzamento!



Tempo di salite:

$$t_s = \frac{1}{\omega_n \sqrt{1-\xi^2}} \left\{ \pi - \arctan \frac{\sqrt{1-\xi^2}}{\xi} \right\}$$

Si vede che:

$$t_s \cdot \omega_n = f_2(\xi) \quad \text{funzione dello smorzamento!}$$

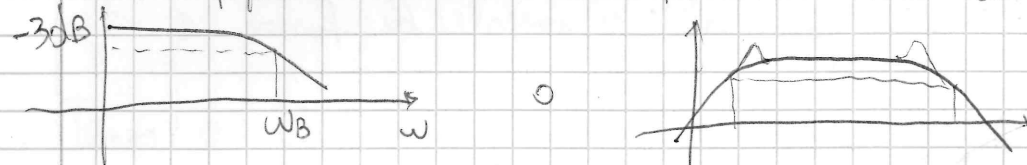
Tempo di assestamento:

$$t_a \approx \frac{-\ln(\epsilon)}{\omega_n \xi} \rightarrow \omega_n t_a = f_3(\epsilon, \xi)$$

↳  $\epsilon$  in valore numerico, non percentuale: se 5%, si mette 0,05

4.8) Risposta in frequenza di un sistema di controllo  
 La risposta in frequenza fuori è stata studiata per il regime;  
 essa contiene preziose informazioni riguardo i transienti.

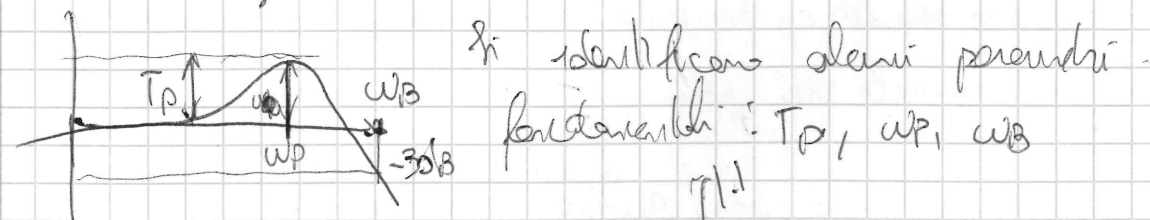
Un amplificatore come lui noto ha una risposta di questo tipo:



Vediamo alcuni casi.

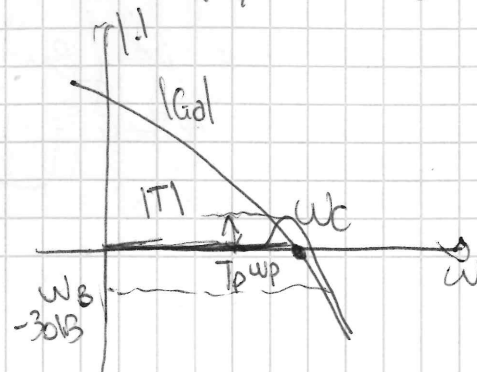
4.8.1) Caratterizzazione generale in frequenza

Dato il seguente andamento

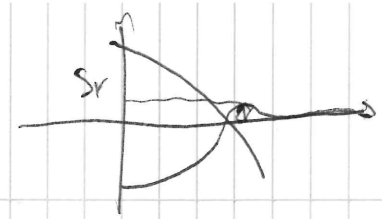


Si identificano alcuni parametri fondamentali:  $T_p$ ,  $\omega_p$ ,  $\omega_B$

Dato la  $G(j\omega)$ , la pulsanza  $\omega_c$ , la  $\pi$



La funzione di sensibilità:



$S_r$  è il picco in frequenza di  $S_r$   
 la frequenza  $\omega_r$ , e  $\omega_c$ .

Questi sono i parametri che caratterizzano la risposta in frequenza generale di un sistema di controllo. SCRIVERE SCMP/1971

4.8.2) Parametri della risposta in frequenza di sistemi polinomiali del II° ordine.

Quel che si fa è: si prende la fdt, si fa limite su  $s = j\omega$ , quindi si ottiene il risultato finale. Si riprendono solo questi.

Per la  $|T|$ :

$$\omega_p = \omega_n \cdot \sqrt{1-2\xi^2} = \omega_n f_4(\xi)$$

$$T_p = \frac{1}{2\xi\sqrt{1-\xi^2}} = f_5(\xi)$$

$$\omega_B = \omega_n \sqrt{1-2\xi^2 + \sqrt{2-4\xi^2(1-\xi^2)}} = \omega_n f_6(\xi)$$

$$\omega_c = \omega_n \cdot f_7(\xi) \rightarrow \text{non specificata!}$$

$$\omega_r = \omega_n f_8(\xi)$$

$$S_r = f_9(\xi)$$

Corretto: nei sistemi polinomiali del II° ordine, non volendo individuare i parametri necessari per la caratterizzazione del sistema, si possono pensare in frequenza: si pensa da un punto all'altro!

Quasi ogni volta, le prestazioni, le prestazioni, in dati nel tempo e noi impareremo a progettare controllori nel dominio della frequenza, dunque dovremo "vedere" queste grafiche!

4.9) Relazioni tra la risposta al gradino e la risposta in frequenza nei sistemi propri del 2° ordine  
 ed esmpo

Qual è il legame tra banda e tempo di salita?

Beh, considero  $\omega_b \cdot t_s$ : si può dimostrare che:

$$\omega_b t_s = f_2(\xi) \cdot f_0(\xi)$$

si ricorda: per un tempo di salita elevato,  $\omega_b$  è basso, sono bande strette!

$\omega_c$  e  $\omega_b$  sono "distanti" da un coefficiente quasi costante!  $\approx 0,69$ !

Fig 4.5): Svolgeremo al varco delle momenta!

Fig 4.6) Legame tra momento e pole-zero del peso di ITI e ISI.

Fig 4.7)  $t_s \cdot \omega_b$ : si dice che questo prodotto è circa costante  $\approx 3$  per  $\xi$  tra 0,4 e 0,7.

Ci son quindi figure grafici con valori tra tempo e frequenza!

I diagrammi appena descritti mostrano il legame

$$\omega_b t_s = f_2(\xi) f_0(\xi)$$

$$\omega_b t_a = f_3(\xi, \xi) f_0(\xi)$$

$$\omega_c t_s = f_2(\xi) f_7(\xi)$$

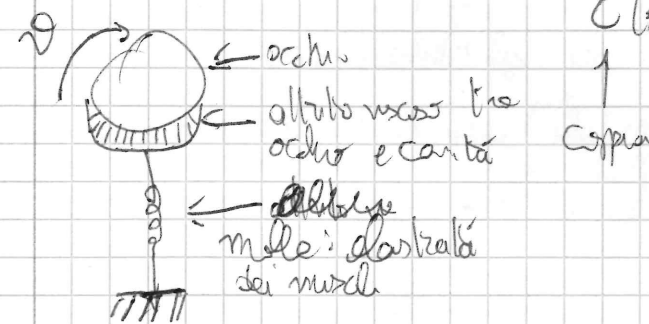
$$\omega_c t_a = f_3(\xi) f_7(\xi)$$

un esmpo fondoso:

A che serve? Beh, considero i momenti dell'occhio.

Esiste il momento "saccadico" dell'occhio: quando si legge e si arriva alla fine della riga, l'occhio si sposta velocemente all'inizio della riga. Quanto tempo ci mette l'occhio a fare questo movimento?

Modelliamo:



$$\tau(s) = J\ddot{\theta} + \beta\dot{\theta} + K\theta$$

Questo è un modello in pura approssimazione di  $\theta(s)$ . Il momento di inerzia,  $\beta$ ,  $K$ , si possono "stimare" in un paziente!

si può stimare anche:

$$\frac{\theta(s)}{T(s)} = \frac{1}{s^2 J + s\beta + K} = \frac{1}{K} \frac{K/J}{s^2 + \frac{\beta}{J}s + \frac{K}{J}}$$

che è nella forma:

$$\frac{1}{K} \frac{\omega_n^2}{s^2 + 2\xi\omega_n s + \omega_n^2}$$

I procedimenti di stima partono da  $\beta$ ,  $J$ ,  $K$ , valori dell'occhio di:

$$\xi = 0,7; \omega_n = 120 \text{ rad/s}$$

La domanda è: quanto ci mette il "sistema di controllo" dell'occhio a partire a muoversi a fine riga? Beh, tempo di salita!

Almeno  $\xi = 0,7$ , allora  $\omega_n$ . Partiamo il grafico, e vedas che  $t_s \cdot \omega_n \approx 3,3 \text{ rad}$ ;  $\frac{3,3 \text{ rad}}{120 \text{ rad/s}} = 27 \text{ ms}$

4,10) Curve di T e S a modulo costante

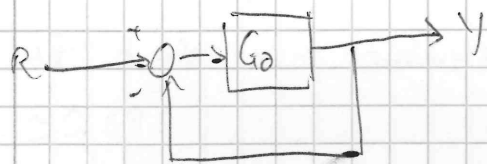
4,11) Curve di T a modulo costante

Quello che si trova al lab è tracciato le specifiche dal tempo alla frequenza. Lo specifico nel tracciato.

Presentano uno strumento che una volta si usava molto spesso.

Alcune tecniche di controllo sui note per gli amplificatori. La cosa che si sa è che a certe condizioni gli amplificatori diventano instabili. Per ottenere problemi di stabilità non servono strumenti di tipo analitico. Nyquist tirò fuori alcuni strumenti, ma ne vedremo un altro.

\* Consideri il solito sistema di controllo a retroazione unitaria:



Con la funzione di anello e Nyquist si fanno conclusioni sulla stabilità del sistema retroazionato.

Si vuol vedere come da un grafico della funzione di anello si può desumere un grafico della G<sub>0</sub>.

Data  $G_0(s)$ , e  $G_0(j\omega)$ , si può dire:

$$G_0(j\omega) = A(\omega) + jB(\omega) \rightarrow \text{un numero complesso al variare di } \omega$$

$$G_{rg} = \frac{Y}{R} \equiv T = \frac{G_0}{1+G_0} \quad ; \quad T(j\omega) = \frac{A(\omega) + jB(\omega)}{1 + A(\omega) + jB(\omega)} \quad \downarrow \text{semplifichiamo la notazione}$$

$$= \frac{A + jB}{1 + A + jB}$$

$$|T(j\omega)| = \sqrt{\frac{A^2 + B^2}{(1+A)^2 + B^2}}$$

Dato un particolare valore di  $|T|$ ,  $H$ , e  $|T|^2 \rightarrow H^2$ :

$$H^2 = \frac{A^2 + B^2}{(1+A)^2 + B^2} \quad (\text{particolare})$$

Quindi sono i possibili valori di A e B che danno il H?

Portando avanti i conti si ottiene:

$$\left(A + \frac{H^2}{H^2-1}\right)^2 + B^2 = \left(\frac{H}{H^2-1}\right)^2$$

Quindi sono tutti i possibili valori? Una circonferenza di raggio  $\frac{H}{H^2-1}$ , centrata in  $\left(\frac{H^2}{H^2-1}, 0\right)$

Accanto a ogni CRT c'è un certo valore di H. Questo son le circonferenze che danno luogo a |T| costante.

Questo è il piano di Hall.

Si appaiono modulo e fase, della funzione di anello, e la  $\omega$  in questione. In "ingresso" si mette  $G_0$ , in "uscita" l'andamento di  $|T|$ .

Disegnando il Nyquist, vedendo la vicinanza con le circonferenze e rappresentando i valori, si riesce a fare |T|. Il passaggio per la circ 0,707 è la -30dB.  $0,707 = \frac{1}{\sqrt{2}}$ !

4,12)

Per la funzione |S|, stesso discorso!

$$S = \frac{1}{1+G_0} \Rightarrow |S(j\omega)| = \frac{1}{\sqrt{(1+A)^2 + B^2}}$$

Dato un particolare valore  $S_0^2$ , risulta:

$$S_0^2 = \frac{1}{(1+A)^2 + B^2}$$

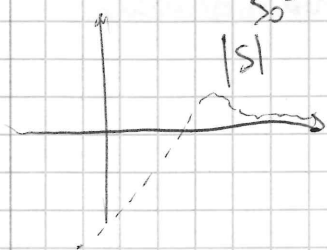
Si trova il luogo di S.

$$(Ax+1)^2 + B^2 = \frac{C}{S^2}$$

Curvatura cartola in  $(-1; 0)$

Si noti che  $(-1)$  è il punto carico.

Si disegna la funzione di modulo alla Nyquist. Come usata sta certa funzione  $|S(j\omega)|$ . Frequenza per frequenza si trova il valore come  $\frac{1}{S_0^2}$ , questo grande implica  $S$  piccolo!



Questo serve a introdurre e spiegare le curve di  $|S|$  e  $|T|$  a modulo costante.

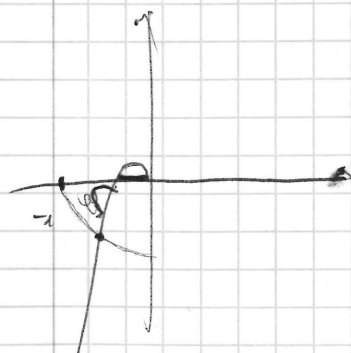
In pratica: mi serve il diagramma polo sulla carta, quindi per ogni punto che mette sul diagramma mi segno la pulsanza.

Poi, quel che mi fa è mettere il valore di " $\omega$ " sotto al grafico sul diagramma con ascisse " $\omega$ " e ordinate  $|T|$ . Idem per  $|S|$ .

4.11) Indicatori di margini di stabilità.

Ora mettiamo "in crisi" alcuni margini di stabilità.

Avviciniamo parlato del "-1":



Nell'80/85 si è iniziato a parlare di problemi di robustezza.

(recenti concetti in ambito di controlli su polhi in presenza sul diagramma di Hall e sul piano di Nyquist. Se la fdt avesse un andamento "a gobba" come quello disegnato, il sistema sarebbe ancora stabile, ma pronto all'instabilità.

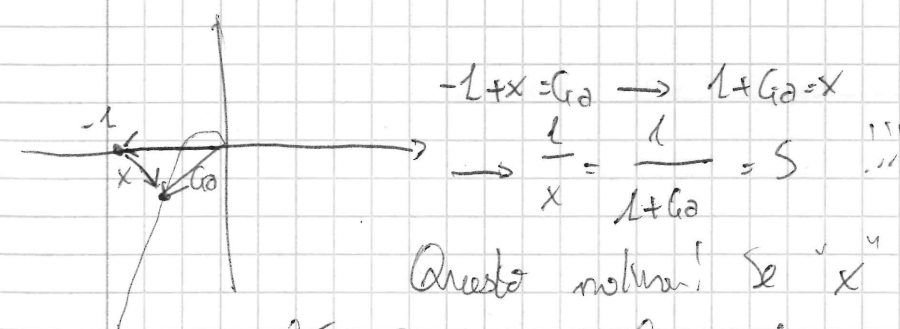
Se il sistema ha una risonanza, può già capire che, come in sistemi meccanici, si hanno poli complessi poco smorzati.

Horizon di fase e di guadagno NON SONO SUFFICIENTI per indicare e garantire una certa stabilità.

Buoni criteri: dal grafico, il picco deve essere il più piccolo possibile, ma un indicatore dei margini di stabilità è il PICCO MASSIMO DELLA FUNZIONE DI SENSIBILITÀ.

Buoni criteri: dal grafico, il picco deve essere il più piccolo possibile, ma un indicatore dei margini di stabilità è il PICCO MASSIMO DELLA FUNZIONE DI SENSIBILITÀ.

Consideriamo ora ciò:



Questo mostra! Se " $x$ " è grande, "spinge" in là,  $S$  sarà piccolo, e dunque il suo picco sarà un picco.

Se specifico io mi avaccio verso del tipo:

$$|S_r| \leq S_{r0}$$

↓ valore del picco

Grafico 4.6 o 4.5 / rapporto De Moivre della

4.12) - - -

progettare un sistema con  $\hat{s} \leq 10\%$

Non sapendo qual è il tipo del sistema, usiamo una dinamica dominante del 2° ordine. Da qui, dal 4.5, con "Op1" (10%) si ha un  $\xi$  del 0,59 altrimenti  $\xi \leq 0,59$

ciò dà informazioni sul picco di  $T_p$  e  $S^{4.6}$   $Sr = 1,35$

Il picco max deve essere inferiore a 1,35. Allora vediamo la specialità da tempo a frequenza.

$T_p$  alla stessa media da  $\leq 1,05$

$$\left\{ \begin{array}{l} m_{\alpha} \geq \frac{1}{T_p} + 1 \\ m_{\alpha} \geq \frac{1}{S_r - 1} + 1 \end{array} \right\} \text{ Si prende il più restrittivo dei due per iniziare il progetto.}$$

$$\left\{ \begin{array}{l} m_{ce} \geq 2 \arcsin \left( \frac{1}{2T_p} \right) \\ m_{ce} \geq 2 \arcsin \left( \frac{1}{2S_r} \right) \end{array} \right\}$$

28/05/08

4.11

4.12) Esempio (traduzione di  $\hat{s} \leq \hat{s}_0$ ) (già fatto)

4.13) La carta di Nichols

La carta di Nichols è ciò: nel piano di Bode si ha polare delle curve a modulo costante: quelle in "T" e quelle in "S".

In quelle di T le curve non partono da zero con M, quelle di S il raggio.

La cosa dura è che si ha questa rappresentazione, LIMITAZIONI: non

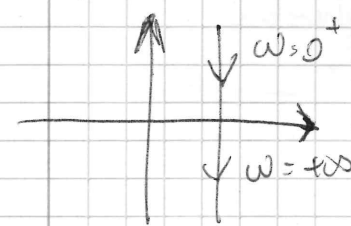
si possono rappresentare come troppo piccole o troppo grandi.

Ci viene più comodo la rappresentazione logaritmica: si usa un ~~carta~~ piano in cui le ascisse sono rappresentate da una fase, le ordinate un modulo in dB.

In questo piano l'ingresso è la funzione di solito (la mia  $\omega$  in frequenza),  $G(j\omega)$

Facciamo un esempio: integratore.

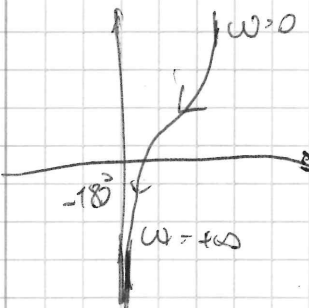
$G(s) = \frac{1}{s}$ : la fase è costante a  $-90^\circ$ , il modulo scende, diminuisce al crescere di  $\omega$ .



Supponiamo di avere una funzione di questo tipo:

$$G(j\omega) = \frac{1}{100(1+j\omega 2)}$$

Ora, si parte da fase  $-90^\circ$ , e il polo fa scendere fino a  $-180^\circ$ .

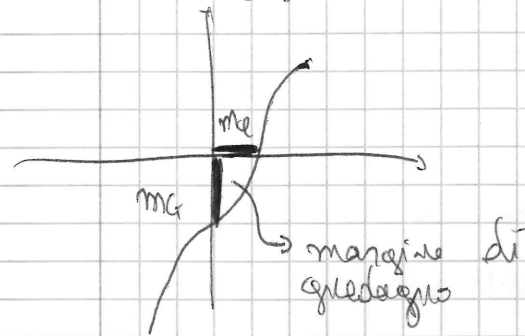


Il procedimento è sempre circa questo.

Si noti che il punto centrale, modulo "1" e fase  $-180^\circ$ , ~~non~~ mappa il cosiddetto "punto critico", "-1".

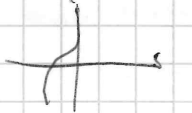
N.B.: per sistemi a rettificazione di fase minima, si può indicare, in questo piano, se il sistema è stabile e con quali margini di stabilità.

Il margine di guadagno è dato dalla distanza tra l'intersezione con l'asse verticale e il punto centrale:



Stessa cosa per il margine di fase,  $m_f$ : la distanza tra l'angolo e l'intersezione con la retta "af a 180 gradi": l'ave 0 dB.

Se con un po' particolari tipo in presenza di non zero simili, ~~il sistema si comporta in modo un po' diverso, ma i margini non cambiano, anche se si vede che la situazione di stabilità è sottile, "borderline": - (~~

Una volta che si supera "a sinistra"  cioè quindi, il sistema è INSTABILE: no margine di guadagno, margine di fase negativo.

Come può essere utile il piano di Nichols per altro? Beh si vede: non discuriamo sopra Gz

La carta di Nichols è corredata di un insieme di curve a modulo costante: queste per T ~~sono~~, quelle con un'etichetta che caratterizza il modulo.

 Queste servono per vedere, frequenza per frequenza, qual è la curva più vicina al ~~o~~ asse unitario della funzione di quello

Dalla carta, con questo caso, in uscita ~~vediamo~~ il modulo di  $|T(j\omega)|$ . Le curve tracciate in gradi sono curve a fase costante. Questa carta si può usare per ottenere queste informazioni:

$$T = \frac{Gz}{1+Gz}$$

Noi questo piano può essere usato in un modo particolare. Questo piano è fondamentale; torniamo all'esempio di ieri, il 4.12.

Vogliamo progettare un sistema di controllo un sistema con  $\delta_0 = 10\%$ ,  $\delta \leq \delta_0$

Da qui, ieri vedemo di:

$$\xi \geq \xi_0 \approx 0,59$$

$$\text{Da qui, } |T_{ps}| \leq 1,05, |S_{ro}| \leq 1,35$$

Il concetto di stabilità relativa serve a limitare, ed è limitata, la questidori. A partire da essi si possono trovare margini di guadagno e di fase minimi!

L'informazione sui  $T_p$  e  $S_r$  dico che, in frequenza, la funzione T deve avere un picco max inferiore a  $T_{ps}$ , e la funzione di sensibilità deve avere un picco max inferiore a  $S_{ro}$ . A volte qualcuno dei due valori, non partire dal tempo è meglio.

Quello che si ved bene è metterlo in evidenza sul grafico di ieri, UNA circonferenza: quella di  $T_{ps}$ ! Dovendo modificare, grazie al controllore, la parte della funzione di quello non TAGLI  $T_{ps}$ , ma FUORI da essa, altrimenti ammetterlo valori inferiori



Stesso discorso per la funzione di sensibilità!

La funzione di sensibilità deve star fuori dai contorni le circonferenze!

È sulla Nichols? Di tutto lo scopo ci interessa UNA curva: quella relativa a  $T_{po}$ !!! Allora vedremo, si aumentano i margini.

È la funzione di sensibilità sulla Nichols? Beh, nessuno si è aumentato a disegnare sulla Nichols la curva a modulo costante della sensibilità! Essa è sempre una specie di ellisse, un po' più stretta e un po' più in basso!

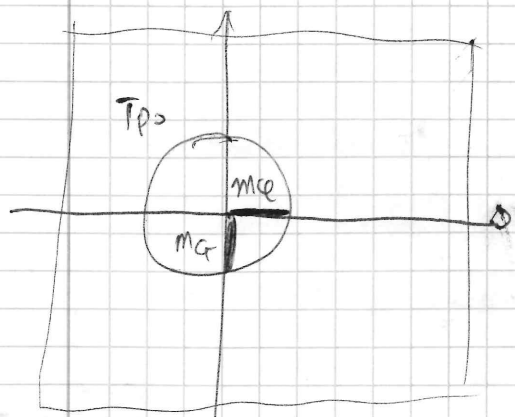
Lei introduce DUE zone proibite nella carta di Nichols: la  $G_0$  DEVE esser fuori da ste curve.

MATLAB consente di disegnare la "grafica di Nichols", col comando "nichols()", che disegna la risposta in frequenza su quel piano, senza niente altro. Col cane.

Volendo la grafica di Nichols, bisogna usare "ngrid()", ma a noi NON INTERESSA. La grafica dell'altro farà noi :-)

Vedremo come costruire una funzione MATLAB che ci permetta come costruire le curve a <sup>modulo</sup> costante :-)

È per vedere i margini di guadagno e fase? Beh, vediamo:



Per  $T_{po}$ , il margine di fase si legge sulle ascisse. Il minimo margine di fase è il segmento ~~de~~ ~~verso~~ verso il -1 e l'intersezione con l'asse  $\omega$  a destra.

Stesso discorso il margine di guadagno minimo. Stessa cosa per le funzioni

di sensibilità, e si perdono le più restrittive.

Studiamo ngrid(s), da una vecchia versione (matlab 4)

Per ora lasciamo stare i comandi di controllo, cioè % Delhp ... ; fino a lì, lasciare uguale.

ngrid disegna le curve a modulo e fase costanti di T. Possiamo cancelare tutto ciò che riguarda la fase di T, perché ci interessa solo il modulo.

"mm = ..." : definisce un vettore di costanti i valori del  $\omega$  della curva a modulo costante. Perché vogliono disegnare solo una ~~curva~~ curva, almeno passare alla funzione il  $T_{po}$ , e QUELLO dovremo passare.  $T_{po}$ . UNA curva a modulo costante.

"mx = ..." : cancellare: serve per le curve a fase costante.

Perché i valori di "mm" son in db, passiamo al lineare, facendo:

$$mm = 10.^{mm/20}$$

pp e px servono per generare il dominio; si sapeva per ora che conviene generarli meglio dopo e in maniera più fitta. pp lo lutton via: serve per la fase; px verrà meglio generato dopo.

j = sqrt(-1); % metterlo, nel dubbio.

% plot phase lines: CANCELLARE

% plot magnitude lines : da qua se ne parla.

[p, m] = meshgrid ...

Canoni mm e px misurano per costruire il grigliato, di valori su cui si costruisce la curva che ci interessa.

Si costruisce il numero complesso Z e la funzione g. Noi vogliamo, da Z, tirare  $G_0$ ; sappiamo che  $T = \frac{G_0}{1-G_0}$

$$\rightarrow G_0 = \frac{T}{1-T}$$

Da cura a modulo costante e il luogo secondo sei punti  
 in corrispondenza dei quali  $T = T_{po}$ . Portando dai 7 elaborati, a  
 partire dai valori prima imposti!! Da mm o px!  
 Il gioco è fatto! Si fa il "gain" come  $20 \cdot \log_{10}(|abs(g)|)$ ;  
 sono anche la fase della funzione! Questo però il d. di Nichols  
 fa questo mestiere!

GUARDA SINTASS "rem()"

'W': → usare un valore diverso! Non serve!

Acquisti di Cero:

Functor [Tpo, Sro]  
 $px = \text{linpoco}(-359, 99, -0, 01, 500);$

$[p, m] = \text{meshgrid}(px, Tpo)$

$[p, s] = \text{meshgrid}(px, Sro)$

Definisce 2 vettori complessi:

$z = \dots$

$z1 = s \cdot \exp(i \cdot p \cdot 180 \cdot \pi)$

$g1 = (1 - z1) ./ z1$

$gain1 = 20 \cdot \log_{10}(|abs(g1)|)$

$phase1 = \text{rem}(\text{angle}(g1) / \pi \cdot 180 + 360, 360) - 360;$

Impone limiti agli assi:

$\text{set}(gca, 'xlim', [-360, 0]);$

$\text{set}(gca, 'ylim', [-50, 50]); \rightarrow [-50 \text{ dB}; +50 \text{ dB}]$

% disegno asse verticale:

$\text{plot}([-180, 180], [-100, 100], 'b--');$

Esercitazione: aggiunte le specifiche sul transitorio. Per il resto  
 tutto uguale!

la cosa importante è tradurre le specifiche di transitorio.  
 Questa è la parte importante.

FARE problemi 1, 5, 6

Nel 6: usare la magrid nostra per creare un piano di  
 Nichols con core a modulo costante, e disegnare le fdt  
 della lista di 15 funzioni!

Problema 1 (da noi.) Si parte dalla sovradamp, da  $\xi$ , per  
 il resto, PER ESPER!

$\delta \leq 10\%$ ;  $t_s \leq 3s$ ;  $t_r, 5\% \leq 12s$ ;

$\xi \geq 0,59$ ;  $S_r \geq 4,35$ ;  $T_p \leq 1,05$

$t_s \cdot \omega_B = 3,15 \rightarrow \omega_B \geq 1,05$

$t_s \cdot \omega_n = 2,225 \rightarrow \omega_n \geq 0,908$

$t_s \cdot \omega_c = 1,95 \rightarrow \omega_c \geq 0,63$  } → unico che serve!

$t_r \cdot \omega_c \geq 3,6 \rightarrow \omega_c \geq 0,3$

$\left\{ \begin{array}{l} m_p = 0,7588 \text{ rad} \\ m_a = 1,952 \end{array} \right.$	$\left\{ \begin{array}{l} m_p = 0,9926 \text{ rad} \\ m_a = 3,857 \end{array} \right.$
↓ 3,81	↓ 11,72

Dalle pulsazioni, l'unica da sero è  $\omega_c$ , perché il margine  
 di fase si definisce per la circonferenza a modulo unitario,  
 unica per  $\omega_c$ , quando si taglia 0dB! Quindi è utile per  
 i margini di stabilità.

03/06/2009

Alcuni punti:

- Ven dell'ultima settimana o si fa sostituire o altro.

5) Metodi di sintesi basati sull'impiego della risposta in frequenza

Questo capitolo tratterà metodi non tanto di "sintesi", quanto di progetto, dal momento che si tratterà il progetto nel dominio della frequenza. La sintesi è un "forma chiusa", noi andremo un po' "a tentativi".

3 metodi che si vedranno sono basati nel dominio della frequenza.

A fase avanzata vengono progettato nel dominio del tempo mediante stimatore e variare degli stati: si desidera di assegnare gli autovalori in modo che fossero stabili.

Qua si vede da un lato la stabilità, ma non solo. Si vede una certa stabilità, nonché poi altre specifiche.

Lo che fanno è lavorare nel dominio della frequenza, ~~almeno~~ ~~approssimazione~~ ~~almeno~~.

Usando un approccio "classico", su  $s = j\omega$ , cercando ~~una~~ di tradurre tutte le possibili specifiche da tempo a frequenza per poi progettare un controller. Potrà capitare di dare la priorità a certe specifiche piuttosto che altre, e si vedrà.

Da sinistra del controller che vengono imposte, progetto è:

$$G_c(s) = \frac{K_c}{s} R_d(s) / P_i(s)$$

$P_d(s)$  e  $P_i(s)$  hanno un guadagno UNITARIO al fine di calcolare i guadagni in  $K_c$

Almeno visto come lavorare a regime permanente o transiente. Le specifiche in di esso in inferenze quali numero di poli nel controller, o valore minimo del modulo di  $K_c$ . Questo è il cosiddetto "progetto statico", quello per  $t \rightarrow \infty$ .

Poi, si è visto che lo specifico di transitorio condurrà a informazioni su un valore di  $\omega_c$  (pulsazione di attraversamento di  $G_d$  a 0dB) e sui margini di stabilità (modulo e fase)  $\rightarrow$  progetto dinamico

Traducendo poi i desideri inaccessibili sono stati trattati vincoli in  $|S|$  e  $|T|$ , ricordando  $\omega_c$ , dunque la banda.

Volendo soddisfare le specifiche a regime permanente, esse non danno essi locali: fissato il comportamento a base freq, quello su cui lavorare, dunque  $R_d$  e  $P_i$ , per  $s \rightarrow 0$ , devono vedere 1.

3 passi:

1) Traduzione delle specifiche (TUTTI)

2) Progetto statico ( $K_c$  minimo e poli nell'origine) E Loop Shaping ~~almeno~~ (dare la "forma" alla f. di snella, mediante  $R_d$  e  $P_i$ , che lo darà una "forma" in frequenza, mettendo una parte dinamica, quello con  $s$ !).

3) Verifica delle prestazioni ottenute, simulando il sistema di controllo.

Per lo punto due farei un modello empirico, da prima appross.

il 3° punto deve approssimare bene a piacere la volta, con un modello FINE.

5.2) Funzioni compensatrici elementari

5.2.1) Controllo ad azione proporzionale

Consideriamo un esempio semplice: dato come elemento di retroazione a blocchi, in cui:

$$G_{tot} = \frac{1}{s(s+1)(s+10)}$$

Un esempio di questo sistema è un DC motor comandato in corrente, per esempio. Un polo nell'origine (integratore della velocità), polo meccanico e polo elettrico.

Consideriamo:

$$G_r = A = G_g = G_f = G_d = 1$$

$$d_1 = d_f = d_2 = 0$$

Specifiche:  $|e^v| = 1$ ;  $\delta \leq 10\%$

Il controllore ad azione proporzionale è:

$$G_c(s) = \frac{K_c}{s}$$

Può capitare di dover mettere  $s^2$ , anche se quello ad azione proporzionale è solo  $K_c$ , questo è anche ad azione integrale. Al variare di  $K_c$  varia la stabilità, e altre prestazioni del sistema, quindi sovradam. ecc.

2 specifiche:

1)  $|e^v| \leq 1 \rightarrow$  sistema di tipo 1

Quando occorre una rampa unitaria il sistema ha errore finito non nullo  $\Rightarrow \int dt$  sul ramo diretto ha un polo nell'origine:  $G(s) = A \cdot G_c(s) \cdot G_p(s)$

Capitola un polo nell'origine, dunque  $G_c(s)$  non ha zero

di poli:  $v=0$   
 $|e^v| = \left| \frac{K_d^2}{K_v} R_0 \right|$

$$K_d = \frac{1}{H} = \frac{1}{G_f G_g} = 1 \rightarrow R_0 = 1 \text{ (rampa UNITARIA)}$$

$$|e^v| = \left| \frac{1}{K_v} \right|$$

$$\text{Ma } K_v = \lim_{s \rightarrow 0} s G(s) = \lim_{s \rightarrow 0} s G_c(s) A G_p(s) = A \lim_{s \rightarrow 0} s G_c G_p =$$

$$= 1 \cdot \frac{10}{(1)(10)} \cdot K_c = K_c \iff K_v = K_c!$$

$$\Rightarrow |e^v| = \left| \frac{1}{K_c} \right| \leq 1 \Rightarrow K_c \geq 1$$

Da  $\delta \leq 10\%$

$$T_p \leq 1,05$$

$$S_r \leq 1,35$$

$\Rightarrow$  Disegniamo le

Curve e troviamo i margini:

$$m_{ce} = 58^\circ$$

$$m_{G} = 11,5 \text{ dB}$$

Si può vedere la stabilità da Bode, vedendo da  $\omega_c = 0,8 \text{ rad/s}$ , quindi vedendo che a questa  $\omega$  c'è stata una rotazione di fase di  $-132^\circ$ , quindi il sistema è stabile con  $48^\circ$  di margine di fase.

RA Nichols NON VA BENE! Si vede che  $G_c$  attraversa!

Il sistema è stabile ma non soddisfa le specifiche!

Dopo aver scelto  $K_c = 1$ , il risultato è QUESTO.

Il regime permanente è SODDISFATTO, ma  $\delta \approx 10\%$  NO!

Ritorniamo  $K_c$  e vediamo che capita!

Si noti che se il sistema NON è pololpo del II° ordine può capitare che anche se  $G_0$  attraversa nella Nichols le CRF, le specifiche non soddisfatto. Se il sistema è del II° ordine la cond. è nec. e suff. altrimenti solo suff.

Proviamo ad aumentare  $K_c$ ? Beh, nella Nichols,  $G_0$  è sulle ~~CRF~~ ~~AZARO~~ la curva :-)

Ma se diminuisco  $K_c$ , la stabilità va a farsi fuggire! Non ~~ABBASSARE~~  $K_c$ , e ciò sulle non-rispettare la specifica di precisione.

Di quanto possono provare ad allargare? Dal grafico si vede che per ottenere un buon risultato basta allargare di 5 o 6 dB. 5 dB significa "2", quindi si può DIMINUIRE  $K_c$ , regoleremo la specifica sull'errore ma al contempo soddisferemo la banda larga! NON SI TAGLIAN PIÙ LE CRF.

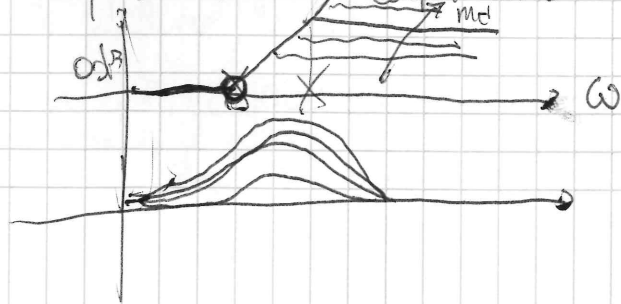
### 5.1.2) Controllo ed azione anticipatrice

Si consideri  $R_d(s)$ , la "rete anticipatrice" (d sta per "derivativa"). Ha una forma di questo tipo:

$$R_d(s) = \frac{1 + \omega_{zd} s}{1 - \omega_{pd} s}$$

Dove  $\omega_{pd} = m_d \omega_{zd}$ ,  $m_d > 1$

Questa è la struttura di queste reti. Il comportamento in frequenza è il seguente:



Si parte da 0dB per di il guadagno stazionario è unitario! Al crescere di  $m_d$ , si tende ad aumentare la pulsione del polo. Idem la fase: al crescere di  $m_d$  aumenta il max! La pulsione è nei grafici normalizzata rispetto a quella della rete anticipatrice.

Questa rete va a ~~cor-~~ rientrare in  $G_c(s)$ , dunque modificherà la funzione di ampiezza. Ciò introduce un andamento ~~del-~~ con la frequenza.

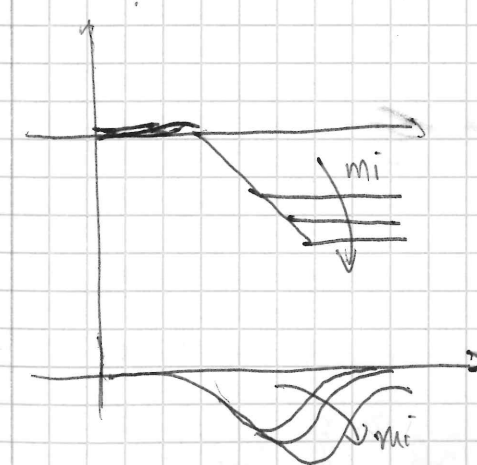
### 5.1.3) Controllo ed azione attenuatrice

Questo per noi sarà  $R_i(s)$ : esso avrà un guadagno ~~stazionario~~ stazionario unitario, un polo a più bassa frequenza, e uno zero a freq. maggiore rispetto al polo:

$$R_i(s) = \frac{1 + \frac{s}{\omega_{zi}}}{1 + \frac{s}{\omega_{pi}}}$$

$\omega_{pi} = \omega_{pi} m_i$

"i" sta per "integratrice" o "integrativa".



Il grafico è ~~UNA~~ UNICO, mettete un "-" davanti alle scale in 0 e dB.

### 5.1.4) Esempio di progetto di rete $R_i$

Si considera lo stesso problema di prima, usando una rete attenuatrice in modo da soddisfare DURANTE LO SPECIFICATO.

Per rendere stabile un sistema si deve tener d'occhio la  $uc$ , e di quella IL MARGINE DI FASE, il  $58^\circ$ .

La  $uc$  finale come deve essere rispetto a questa? Quella con  $uc=1$ ?

La  $uc$  da progettare deve essere tale da avere  $|.l|=1$ . La fase deve essere tale da imporre il minimo margine di fase,  $58^\circ$ , da avere  $60^\circ$  per un numero bello. La fase deve essere maggiore o uguale di  $-120^\circ$ .

Vogliamo usare una rete attenuatrice. Essa, al variare della frequenza, fa diminuire il modulo, lo attenua! Introduce un'attenuazione al variare della frequenza!

La fase diminuisce, cioè, se da un lato attenua il modulo, dall'altro la PERDE FASE, cosa a noi assai antipatica: ci fa perdere margine di fase!

La rete dovrà far perdere fase in qualcosa che non ci dia fastidio.

Quale  $\omega_c$  posso scegliere? Beh, la rete ATTENUA, dunque posso solo scegliere valori di  $\omega$  tali per cui modulo e fase non influenzano molto. Devo prendere un valore per cui il modulo è maggiore di 0 dB in modo da poter "allargare" il modulo a 0 dB.

$\omega_c = 0.1 \text{ rad/s}$  è una "piccola costante"? Beh, la fase è circa  $-90^\circ$ , quindi si può sperare di cui la rete attenuatrice la fase sia circa zero. Il modulo è circa 20 dB, dunque, in  $0.1 \text{ rad/s}$ , la  $uc, des$  ha  $\left. \begin{array}{l} |.l| \approx 20 \text{ dB} \\ \angle \approx -90^\circ \end{array} \right\}$  PRIMA dell'uso della  $R_i$ !

Ma il modulo deve essere attenuato di 20 dB perché mi possa far ciò!

Si può scegliere un'oscilla nominata a 1000 Hz? No, non mi attento!

In "vero" si attenua ma può avere molto meno fase!

La rete attenuatrice si sceglie sempre in modo da avere una oscillazione nominata MOLTO ALTA.

Si ha dunque

$$\frac{\omega}{\omega_{pi}} \Big|_{\omega=\omega_c, des} \text{ tale per cui si cerca di } +20 \text{ dB! } \text{ e } \omega_{pi} = 100!$$

Qual è sto valore?  $m_i = 10$ . Così, si attenua esattamente di 20 dB! :-)

Si noti che nella  $R_i$  si riferisce a  $\omega_{pi}$ , nella  $R_o$  e  $\omega_{zi}$

$$\frac{\omega_c}{\omega_{pi}} = 100 \rightarrow \omega_{pi} = 1 \text{ mrad/s}$$

$$\omega_{zi} = 10 \cdot 1 \text{ mrad/s} = 10 \text{ mrad/s}$$

Lo sa capita una volta fatto questo calcolo? In  $0.1 \text{ rad/s}$  la funzione attraversa lo 0 dB! E produce 50° gradi! Questo capita spostando la fase, l'asintoto, di una tonna che non ci interessa: intanto a  $\omega_c$  il nome è impedito, il resto non ci interessa, anche se la fase decresce di molto!

Sul Nichols, si noti che la forma è molto condizionale!

Però ora la costante mi senti NON È RISPETTATA! Ha, comunque, la costante è INDIFFERENTE! O meglio, PRIMA SI VEDA LA RISPOSTA NEL TEMPO, e si veda se il sistema ha l'oscillazione (prima  $\omega_c$  era 0.1, ora è 0.1, dunque la costante è diminuita, il tempo di salita, ma la scada. è diminuita, circa 6,5%!

Ci si può fermare qua! Il controller funziona solo se  $\omega$  non è soddisfolto.

Il controller è:

$$R(s) = \frac{1 + \frac{s}{0.01}}{1 + \frac{s}{0.001}} \Rightarrow G_c(s) = k \cdot \frac{1 + \frac{s}{0.01}}{1 + \frac{s}{0.001}}$$

Allora soddisfolto al centro sarà ed. uno sul elemento. La rete integrativa PALENA, si vede  $\omega$ !

Si può migliorare il tempo di salita? Per aumentare  $\omega_c$ , si deve ALZARE la funzione di modulo! In questo modo si può associare a una certa  $\omega$  si "alzano", fino a toccare l'asse  $\omega$  da!  $\left. \begin{matrix} \omega_1 \\ \omega_2 \\ \omega_3 \\ \omega_4 \\ \omega_5 \end{matrix} \right\} k_c$  Aumentando  $k_c$ , invece  $\omega_3$  ancora  $\omega_4$  o  $\omega_5$  o altro! :-))

Senza errore.

5.1.5) Esempio di progetto di rete  $R_d$

Questa è una rete anticipatrice.

Stesso problema di prima ma rete ANTICIPATRICE, DERIVATIVA.

Mh. Beh. la rete ant. GUADAGNA, e AUMENTA LA FASE, coppia la fase.

Buona cosa ora è prendere una fase di poco più grossa della vecchia 98, in modo da avere un modulo di poco più basso, per compensarlo con la rete anticipatrice. Si sceglie una zona con 95 db, guardando dal gener. in modo da poter guadagnare un 12° abbondanti nel margine, in  $\omega$  scade

Dove  $\omega_{cda} \approx \omega_{carm} = 0.8 \text{ rad/s}$ .

$$\frac{\omega}{\omega_{cda}} \Big|_{\omega_{cda}} = 0.3 \quad m_d = 5 \Rightarrow \omega_{cda} = 2.6 \text{ rad/s}$$

$$\omega_{cda} = 5 \cdot 2.6 = 13$$

$$R_d(s) = \frac{1 + \frac{s}{2.6}}{1 + \frac{s}{13}}$$

we noi conta quoni di meno! La fase si comporta BEVE!

NON USARE RICETTE: andare a tentativi. Imparare a costruire un controller.

PROVARE A FARE IL PROGETTO CO' PICCO! APPROXIMARE 60°!

Si noti che finora il loop shaping è stato fatto per  $\omega$  scade, si può fare però per qualsiasi frequenza.

04/06/03

5.1.6) Simulazione degli esempi 1, 2, 3

Vediamo una simulazione degli esempi visti ieri. Vediamo quali sono le differenze dei diversi controller progettati.

Si parte dall'esempio 1

Perché venivano assegnate le specifiche e le prestazioni ottenute, dovran esse documentate, cosa e come si sono fatte?

Von documentate le prestazioni che ~~si~~ riguardano le SPECIFICHE.

Il problema era 2 specifiche: sovralongone minore al 10%, e scelta a 2.

# SCRIVERE SUGGERIMENTI!

Tra "T" e "Gry" c'è solo "Kt" di differenza.  
 Bisogna disegnare nella documentazione qualcosa? Beh, a meno, la cosa più interessante è Nichols, al fine di coprire e far coprire quindi scelte non state fatte.

## - Ex 1

$K_c = 0,55$  % messo dal professore.

La risposta al gradino VA FATTA CON SIMULINK per il

Fai disegnare allo script:  $\leftarrow$  <sup>Nichols</sup> risposta al gradino (step)

Si disegna ALL'ESAME su carta la risposta QUALITATIVA al gradino, specificando COSA si sta disegnando, e si indicano la sovraccarica, tempo di salita / onuscamento (se richiesti tra le 3 proposte!)

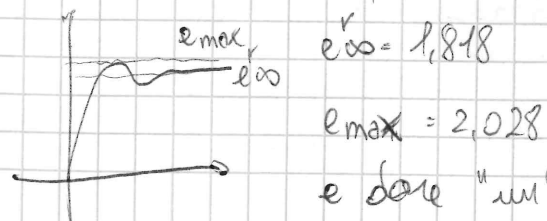
Da MATLAB si può vedere che  $t_s = 4,06$  s

Domanda: quanto deve essere precisa la lettura? Facciamo al MAX un errore di lettura pari al 5%. Errore max 5%, poi se lo 5% o 10% diminuisce il punteggio, oltre il 10% 0.

Tempo di cross al 5%: da sopra in questo caso, 7 secondi

Si noti: errore in reg. per su rampa unitaria si intende: SI COLLEGA SOLO LA RAMPA.

Si disegna qualitativamente la risposta nel tempo dell'errore al elemento,  $e^*(t)$ , e si riportano i val. reg. per (1,818),



$e_{ss} = 1,818$

$e_{max} = 2,028$

e dare "un'idea del tempo"

La documentazione è tutto qua

Si sa che l'ingresso del comando è fondamentale! Plant Input: seguire la "fotografia" del plant input, veder che c'è un valore max da dare una "shela" al controllo, o boh.

$U_{max} = 22$

Confronto tra controlleri:

	$\delta$	$t_s$	$t_d$	$e_{ss}$	$U_{max}$	effetto coda
$K_c = 0,55$	7,5%	4,06 s	7 s	1,818	22	No
$R_i$	4,84	5,608	4,937	0,25	16	Sì
$P_d$	19,4	2,677	4,865	1	200	No

## Ex 2

$$G_c(s) = K \frac{1 + \frac{s}{\omega_z}}{1 + \frac{s}{\omega_p}}$$

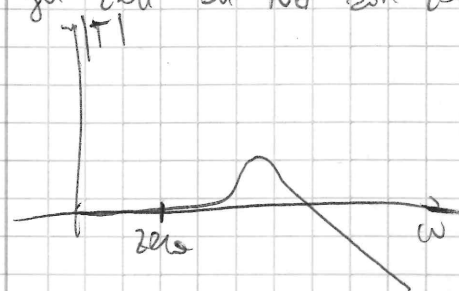
Qua si ha un "effetto coda": simulando, nonostante il sistema sia di tipo "1", l'errore va a 0 asintoticamente NON SUBITO.

Questa dipende dai modi, gli esp: qua si hanno poli a bassa frequenza per la fdt del sys reazionato! L'uso di questa rete fa mettere sto polo a bassa frequenza!

$$G_a = \frac{N_a}{D_a} \Rightarrow G_{ry} = \frac{G_a}{1+G_a} = \frac{N_a}{N_a + D_a}$$

Gli zeri del controllore son zeri della funzione di quello, ma anche zeri di  $G_{ry}$ ! Gli zeri del controllore li inserisco tra l'elemento e l'uscita, i poli della fda NON son i poli di  $G_{ry}$

gli zeri di  $N(s)$  son zeri di  $G(s) \cdot (T)$

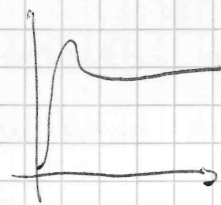


Si noti che si avrebbe uno zero, ma la variazione per nascerne un polo che fa cancellare lo zero, dunque l'effetto coda, che mette in evidenza il comportamento di un polo tra ingresso e uscita, nasce per effetto della compensazione con lo zero sulla T.

Max Conado 14

Ex 3

$$G(s) = 1 \cdot \frac{1 + \frac{s}{2.6}}{1 + \frac{s}{13}}$$



$$\delta = 9.4\%$$

$$t_s = 2.477 \text{ s}$$

$$t_a = 6.865 \text{ s}$$

$$e_{ss} = \frac{0.1}{K_c} = 2\%$$

Comando: la rete anticipatrice dà una lotta pomerica a 200, all'inizio. questo è il difetto delle reti con!

Effetto coda: NO.

Il sistema più veloce è questo ma ha la lotta a 200, la rete ~~costa~~. [R] ha l'eff. coda ma "taglia la lotta", "attenti del comando lora".

Se si può fare a meno della rete alternativa e ubri, a causa dell'effetto coda

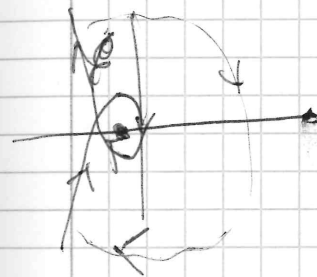
5.2) Studio del segno di  $K_c$

Si aveva concluso parlando di l'roduzione delle pichole il fatto che il modulo di  $K_c$  abbia ~~valore~~ valore appartenenti a un certo intervallo. Nulla sul segno!

Si sapeva scegliere il segno giusto in modo da avere un sistema stabile.

Bisogna capire perché si è usato  $K_c > 0$ .

Supponiamo che si abbia un diagramma di Nyquist di questo tipo:

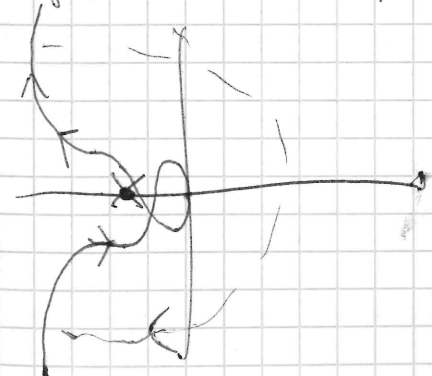


Se il punto critico è lì,

$n_{po} = 0$ , ma  $N = 2$ , quindi il sistema è instabile.

Come si può stabilizzare sto sistema? Beh, ad esempio diminuendo  $K_c$ ; può però capitare che NON SI POSSA ABBASSARLO, causa qualche negli errori.

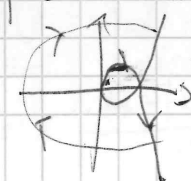
Quò che è stato fatto con le reti è stato per fare un "giro attorno" al punto critico:



Questa è l'azione di queste reti!

"aggirare" il punto.

Se  $K_c$  è NEGATIVO, il diagramma di Nyquist sarà il mirror rispetto all'asse y di questo! ora  $N = 1$ !



in questo caso non si riesce ad avere un ~~certo~~ vite  
de usca a TOGLIERE il punto dalla circonferenza!

si parla di "stabilità" con vite dinamiche:  $K_c$   
è vincolato dal alone specifico sempre non si tocca. Si deve  
stabilire con vite dinamica.

And è il segno di  $K_c$  che permette di stabilire dinamicamente  
il ~~del~~ sistema?

Basta disporre vedere che si può fare.

FARLO ALL'ESAME. ~~Per~~ vedere qual è il segno di  $K_c$ !  
FALLO!

5.3) Attività del "comando" in funzione del riferimento

5.3.1) Analisi

Si può vedere qualche strumento utile per trattare analiticamente  
questo problema.

Quello che si dice vale in alcune condizioni: i) vedere analiticamente  
l'attività del comando quando il riferimento è un gradino:  
qò è il peggio caso (imp.  $R_0$ )

2) Le reti antipulsivi o attenuatori devono essere progettate a bassa  
frequenza rispetto alla  $\omega_c$

3) Non devono esserci "poli di zinghera" nel controllo, o sia poli  
NON ACCOMPAGNATI DA ZERI.

Non interessati all'attività del comando in presenza di un  
riferimento. Dato  $U(s)$  in Laplace:

$$U(s) = \frac{G_c(s) \cdot A}{1 + G_c} R(s)$$

Questa è la funzione tra riferimento e comando  
 $= G_c(s) S(s) R(s)$

Si può dimostrare che, sotto le ipotesi, il valore max del  
comando lo si ha nell'origine e lo si può calcolare col teorema  
del valore iniziale:

$$u_{max} = \bar{u} = \lim_{t \rightarrow 0} u(t) = \lim_{s \rightarrow \infty} sU(s) = \lim_{s \rightarrow \infty} s G_c(s) A S(s) R(s) =$$

$$= \lim_{s \rightarrow \infty} s G_c(s) A S(s) \frac{R_0}{s} = A \lim_{s \rightarrow \infty} K_c \frac{1 + \frac{s}{\omega_{pi}}}{1 + \frac{s}{m_d \omega_{pi}}} \cdot \frac{1 + \frac{s}{\omega_{pi}}}{1 + \frac{s}{\omega_{pi}}} \cdot S(s) = A K_c \frac{m_d}{m_i} \cdot \frac{1}{1 + \frac{s}{\omega_{pi}}} \downarrow \text{per } s \rightarrow \infty$$

$$\Rightarrow u_{max} = A K_c \frac{m_d}{m_i} R_0$$

Dove, con più reti,  $m_d$  e  $m_i$  son le produttore di tutti i  $m_d$  e  $m_i$

Applichiamo agli esempi:

$$Ex1: \bar{u} = 1 \cdot 0,55 \cdot \frac{1}{1} \cdot 40 = 22$$

$$Ex2: \bar{u} = 1 \cdot 4 \cdot \frac{1}{10} \cdot 40 = 16$$

$$Ex3: \bar{u} = 1 \cdot 1 \cdot \frac{5}{1} \cdot 40 = 200$$

5.3.2) Progetto

Si si pare il problema della riduzione della specificità sull'attività  
del comando:

$|u(t)| \leq \bar{u}$  come da  $|u(t)|$  ma nasce o uguale a un valore  
assegnato.

Quel che si può fare, se le ipotesi si pare per soddisfarlo, è  
"lavorare quares":

↓ !!! (-)

$$u_{max} = \left| A \cdot K_c \cdot \frac{m_d}{m_i} \cdot R_0 \right| \leq \bar{u}$$

$$\Rightarrow \left| \frac{m_d}{m_i} \right| \leq \frac{\bar{u}}{A K_c R_0}$$

Ovvero, abbiamo un vincolo sulla scelta tra  $m_d$  e  $m_i$ !

Ora: si suppone di aver fatto il progetto. Dati  $A, K_c, m_d, m_i$ , si suppone di vedere se il sistema saturi!

Si può dire se si può usare con un grado di qualità superiore:

$$R_0 \leq \frac{\bar{u} \cdot m_i}{A K_c m_d}$$

Questo è il vincolo sul grado!

5.4) Attività del comando in funzione di un ingresso morbido

5.4.1) Andina

Tra l'altro come solo caso il caso di disturbo nel transiente.

Si suppone che:

$$d_t = a_f \sin(\omega t)$$

Si considera  $U(s)$ :

Usano la w.p. in  $Re(s)$ !

$$U(s) = G_{dt,m} \cdot D_t(s) \Rightarrow u_{max} = a_f \cdot |G_{dt,m}(j\omega_t)|$$

$$G_{dt,m}(s) = \frac{K_c (-1) K_c A}{1 + G_0}$$

$$u_{max} = a_f |G_{dt,m}(j\omega_t)|$$

Si calcola con MATLAB

5.4.2) Progetto

$$G_{dt,m}(s) = -G_c G_y A S(s)$$

Per  $s = j\omega_t$ , l'espressione diventa:

$$G_{dt,m}(j\omega_t) \approx -G_c(j\omega_t) G_y A S(j\omega_t)$$

Perché il sistema funziona, il disturbo deve essere ad alta freq. rispetto ad  $\omega_t$ .

$G_c$  deve essere approssimata, per  $\omega = \omega_t$ , in  $K_c \cdot \frac{m_d}{m_i}$  (cattiva approssimazione!)  
 $G_c \approx \dots$  Se poi ci son poli, si moltiplica per  $\frac{1}{(j\omega_t)^r}$

$$\Rightarrow u_{max} \approx A G_y K_c \cdot \frac{m_d}{m_i} \cdot \left| \frac{1}{(j\omega_t)^r} \right| \cdot a_f$$

Allora, in fase di progetto, possiamo dire: In ANALISI NO!  
 Questa si può usare solo in progetto e se non conosce nulla!

5.5) Riduzione della complessità delle reti correttive

Il discorso è: quando si progetta un controllore, bisogna evitar di esagerare coi gradi di libertà! Usare pochi poli, max 3 o 4!  
 Inoltre, un controllore affidabile e veramente realizzabile, deve avere felt PROPRIA: questo num = grado den.

Il numero di zeri deve essere al più pari al numero di poli.

$$G_c(s) = \frac{K_c}{s^r} \cdot R_d(s) R_i(s)$$

Si suppone che nel problema si introduce  $K_c$ , un polo nell'origine, e altre reti. Lo che fa recuperare fase nella rete sensata è lo zero!

Perché non fare una rete del grado dunque, se lo sia il polo in 0?

$$G(s) = \frac{K_c}{s} \left( 1 + \frac{s}{\omega_z} \right)$$

Rete P-I (Proporzionale Integrabile):  $G(s) = \frac{K_c}{s} + \frac{K_c}{\omega_t}$   
 Parte integrale      Parte proporzionale

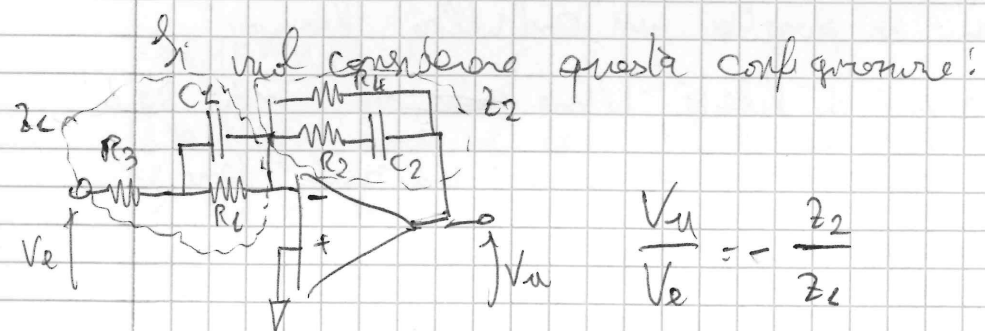
A volte è possibile dunque progettare ~~con~~ ~~con~~ ~~con~~ la rete analogica, questa cosa, SE C'È IL POLO NELL'ORIGINE!

Cosa si fa? Nella Gc si mette Kc e polo nell'origine! Si proietta coi fogli udati ieri lo zero ~~da~~ da tirar in la box! Decina la fase da recuperare, l'asintoto nominata si trascinò lentamente!

$$\frac{\omega}{\omega_c} = 1 \Rightarrow \omega_f = \omega_c$$

Se Gc ha un polo ~~in~~ in 0, SI PUÒ PROGETTARE SOLO LO ZERO. CIÒ È PREMIATO ALL'ESAME! :-)

5.6) Realizzazione di controllori analogici mediante reti RC-attive.



Fatti i passaggi, si trova:

$$\Rightarrow = - \frac{R_4}{R_1 + R_2} \frac{1 + sR_2C_2}{1 + sC_2(R_2 + R_4)} \frac{1 + sC_1R_1}{1 + sC_1 \frac{R_1R_3}{R_1 + R_3}}$$

$\downarrow$   $K_{st}$        $R_i(s)$        $R_o(s)$

Si può progettare il controllore con questa rete!

Si può vedere da una costante di tempo per la II° e III° e III° l'altra  $(R_2 + R_4)C_2$ , dunque il polo è inferiore allo zero! Questa è integrativa! L'altra per lo stesso motivo è derivativa!

Si può così progettare il controllore!

Vantaggi: si può progettare quindi si vede!

Svantaggi: conti un componente e conti TUTTO! È un casino!

Comincio usare un operazionale per stereo e fino di scappare tutto!

10/09

Tra oggi e domani vedremo il capitolo 6:

intre. al controllo digitale. Servono alcune idee sul piano metodologico.

Si dirà qualcosa, e si propongono un metodo

6) Introduzione al controllo digitale

6.1) Struttura di sistema di controllo digitale

Un controllo digitale è un sistema di controllo che vede la presenza di segnali misti: o tempo continuo (~~o~~ Hold, Adc...), ma anche a tempo discreto (~~o~~ A/D...). Ciò fa sì che questo tipo di sistema sia detto "misto".

Si ha ancora l'impianto, "plant or process" (s. analogico a tempo continuo), ecc.

Una prima differenza degli schemi ~~di~~ di controllo è il fatto che qua si confrontano segnali analogici.

In altri schemi si confrontano segnali campionati!

Questo è una possibile "variazione sullo schema".

Il che riesce a se prendono il posto di Gc, del controllore analogico. Il controllore vero e proprio è il "computer"; il resto è interfaccia: per comunicare il mondo esterno analogico, a quello digitale.

La legge di controllo, la  $f(t)$  del controllore, verrà qui implementata nel computer, e dovrà essere redatta con un SOFTWARE.

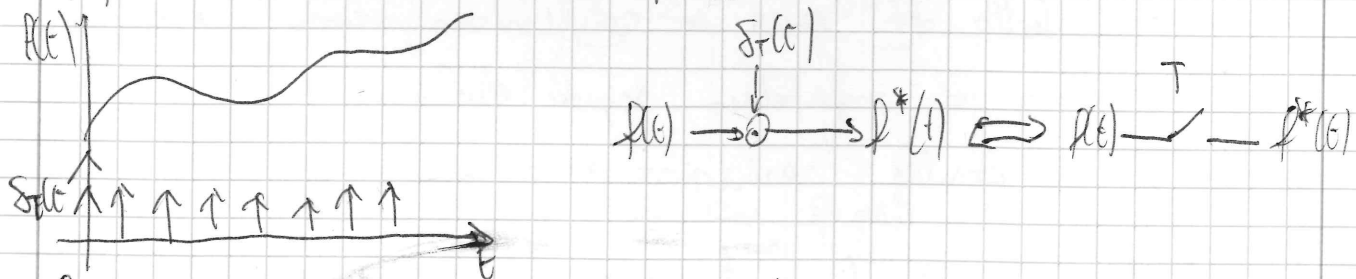
Da un punto di vista controllistico non è fondamentale l'interfaccia AD e DA; ciò che è fondamentale è il circuito di mantenimento, per gli effetti che ha sull'anello, nella retroazione.

Imponiamo a progettare un sistema di controllo digitale.

Vantaggi e svantaggi:

- Maggiore capacità di elaborazione o di memoria: ricominciare una nuova implementazione della legge di controllo.
- Maggiore flessibilità, anche in fase di sviluppo; qua c'è da risparmiare, con un controllo analogico bisogna mettere e riavvolgere.
- Maggiore leggibilità: c'è solo da seguire del codice.
- Controllo: la progettazione è un po' più difficile.
- La stabilità è più precaria; la stabilità è problematica. Giò nasce dall'Hold Circuit.
- Basse esigenze elettriche; ciò è fastidioso perché c'è una classe di sistemi (pneumatici...), che non avrebbero mai bisogno di energia elettrica, dunque dimensionare il computer non essere problematico.

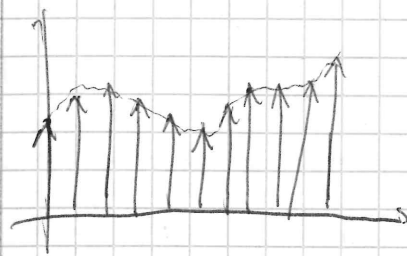
6.2) Modello matematico sul campionamento



Si considera un segnale continuo nel tempo  $f(t)$  e il treno di impulsi  $\delta_T(t)$  periodico di  $T$ :

$$\delta_T(t) = \sum_{k=0}^{\infty} \delta(t-kT)$$

Si fa quadrare ed avere: si moltiplica con un moltiplicatore, e si trova:



Si sa che:

$$f^*(t) = f(t) \delta_T(t) = \sum_{k=0}^{\infty} f(kT) \delta(t-kT) = f(0) \delta(t) + f(T) \delta(t-T) + \dots$$

Avremo imparato che i segnali a tempo continuo sono analizzati per essere studiati con la trasformata  $\mathcal{F}$ ; per ora non ne sapremo:

$$F^*(s) = f(0) + f(T)e^{-sT} + f(2T)e^{-2sT} = \sum_{k=0}^{\infty} f(kT)e^{-skT}$$

Questa è la trasformata di Laplace del segnale campionato.

6.3) Spettro del segnale campionato

Consideriamo una diversa espressione di  $F^*(s)$ ; per far questo, scriviamo il treno di impulsi come:

$$\delta_T(t) = \sum_{n=-\infty}^{\infty} c_n e^{-jn\omega_s t}, \quad \omega_s = \frac{2\pi}{T}$$

Dove:

$$c_n = \frac{1}{T} \int_{-\frac{T}{2}}^{\frac{T}{2}} \delta_T(t) e^{-jn\omega_s t} dt = \frac{1}{T}$$

Quindi:

$$\delta_T(t) = \frac{1}{T} \sum_{n=-\infty}^{\infty} e^{jn\omega_s t}$$

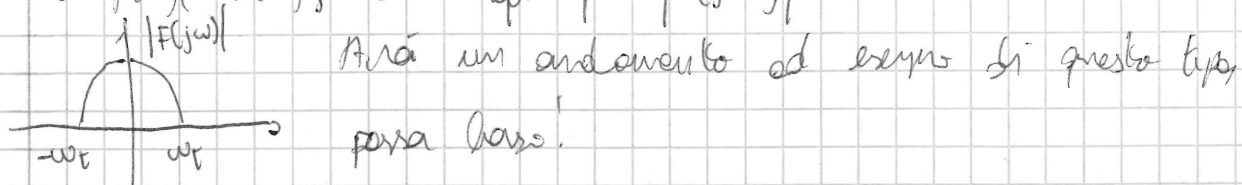
Ora:

$$F^*(s) = f(t) \delta_T(t) = \frac{1}{T} \sum_{n=-\infty}^{\infty} f(t) e^{jn\omega_s t}$$

$$F^*(s) = \int_0^{\infty} \frac{1}{T} \sum_{m=-\infty}^{\infty} f(t) e^{jn\omega_s t} e^{-st} dt = \frac{1}{T} \sum_{m=-\infty}^{\infty} \int_0^{\infty} e^{-(s-jn\omega_s)t} dt =$$

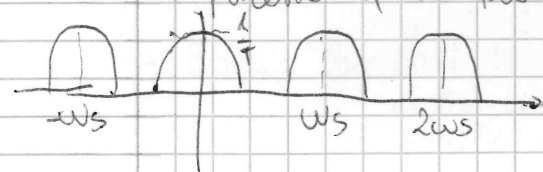
$$= \frac{1}{T} \sum_{n=-\infty}^{\infty} F(s - jn\omega_s)$$

Si può osservare che in "s" questa  $F^*$  è una funzione periodica, che si ripete con periodo  $\omega_s$ . Poiché si vuole lavorare sullo spettro, dato  $f(t)$  si può supporre di conoscere lo spettro di ampiezza di  $f(t)$ ,  $|F(s)|$ , e dunque pure  $|F(j\omega)|$ .



Avrà un andamento ad esempio di questo tipo, per un caso!

Ha  $F^*(s)$  ci può dare i conti di pure  $F(s)$ , o meglio  $F^*(j\omega)$ ! Semplicemente, si può fare  $F^*(j\omega)$ !

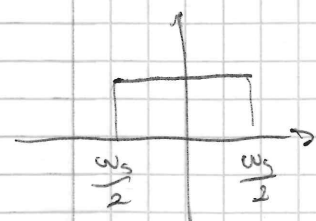


Lo spettro del segnale campionato è periodico in frequenza! Si ripete infinite volte!

6.1a) Ricostruzione del segnale di partenza mediante filtro ideale e teoria dei componenti

In molte applicazioni si pone il problema di vedere un segnale campionato. Campionato  $f(t)$ , visto da lo in caratteristiche in frequenza in lo precedenti, come si "torna indietro"?

Beh, si può fare e facilmente: un modo di vedere il segnale è usare un filtro ideale e, data una freq. di taglio di  $\frac{\omega_s}{2}$ .



Si ottiene esattamente lo spettro del segnale di partenza.

Da qui appare chiaro che: data  $\omega_{cr}$

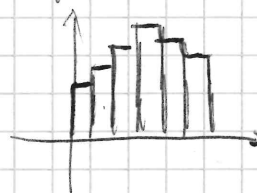
il risultato del teorema di Nyquist dice che  $\omega_s$  deve essere almeno pari al doppio di  $\omega_c$ !  $\omega_s \geq 2\omega_c$ !

Questo a patto che il segnale sia limitato in banda, e non contenga come pulsioni di componenti una almeno doppia, e non usci usca con un filtro ideale.

6.1b) Ricostruzione mediante ZOH

Dato il filtro ideale con quella risposta in frequenza, far di questi filtri è impossibile! La risposta ad impulso dovrebbe durare per un tempo INFINITO, inoltre sarebbe non CAUSALE: rispondere ancora prima di aver l'impulso.

ZOH: Zero order Hold: questo sistema, dato un segnale campionato, ne vogliamo uno a tempo continuo:



Un'idea può essere quella di prendere un campione e MANTENERE costante la sua ampiezza per il resto del tempo fino all'istante dopo.

Ordine zero significa OBVIAMENTE una, pendente zero!

Acquistato il campione bisogna mantenerlo!

$$G_H(s) = \mathcal{L}\{g_H(t)\} = \frac{1}{s} - \frac{1}{s} e^{-sT} = \frac{1 - e^{-sT}}{s}$$

$$g_H(t) = u(t) - u(t-T)$$

Questo è il comportamento di uno ZOH in frequenza!

In banda passante perfetto il guadagno non è costante. Ciò non è drammatico: c'è una zona ampia di freq. in cui il guadagno non scade di tanto. Più alta è la  $\omega_c$ , più vasta è la zona in cui il guadagno resta costante.

Questo filtro ZOH, lo senti per la necessità ~~non~~ meno invece inserito nell' "Hold Circuit". Come "fa" <sup>nella funzione di controllo</sup> dal punto di vista del controllo? Li dà problemi. E' un po' perso fare dunque ci dà problemi. Molto semplice da vedere, ma non lo vedremo costando in banca e perso fare.

6.6) Legame tra  $F^*(s)$  e  $F(z)$

Studiamo il legame tra la Laplace e la Z del segnale campionato.

Allora trovato che:

$$F^*(s) = \sum_{k=0}^{\infty} f(kT) e^{-s k T}$$

Per segnali a tempo discreto la trasformata  $Z$  è la più adatta.

Dato  $f^*(t)$ , sappiamo che:

$$\mathcal{Z}\{f^*(t)\} = F(z) = \mathcal{Z}\left\{\sum_{k=0}^{\infty} f(kT) \delta_T(t - kT)\right\} = \sum_{k=0}^{\infty} f(kT) z^{-k}$$

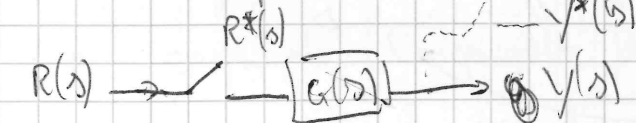
Dunque:

$$F^*(s) = F(z) \Big|_{z=e^{sT}} ; \quad F(z) = F^*(s) \Big|_{s=\frac{1}{T} \ln(z)}$$

6.7) Sistemi a blocchi di sistemi con campionatori

Si sta parlando di sistemi MISTI: tempo continuo E discreto.

Dato a disposizione un sistema  $G(s)$  con prima un campionario:



oppo  $R(s)$  e il camp. intero  $R^*(s)$  (campionato)

$$Y(s) = G(s) R^*(s)$$

$$Y^*(s) = \mathcal{L}\{y^*(t)\}$$

Esso ha una forma del tipo:

$$Y^*(s) = \sum_{k=0}^{\infty} \frac{1}{T} \delta(s - jk\omega_s) y(kT) \quad \omega_s = \frac{2\pi}{T}$$

$$= \frac{1}{T} \sum_{k=0}^{\infty} G(s - jk\omega_s) R^*(s - jk\omega_s)$$

osservazione:  $R^*(s)$  è una funzione periodica in  $\omega_s$ ! Se si sono in questo modo, separabile in imporre una periodicità nella periodicità, ma è identica! in più poteri fuori dalla semostruttura!

$$\Rightarrow = R^*(s) \frac{1}{T} \sum_{k=0}^{\infty} G(s - jk\omega_s) = R^*(s) G^*(s)$$

Dunque:

$$Y^*(s) = G^*(s) R^*(s)$$

Si ha un legame tra segnali CAMPIONATI, SISTEMI CAMPIONATI questo legame; si potrebbe dunque scrivere:

$$Y(z) = G(z) R(z)$$

Vediamo qualcosa del genere:



$$Y_1(s) = G_1(s) R^*(s)$$

$$\hookrightarrow Y_1^*(s) = G_1^*(s) R^*(s)$$

$$Y_2(s) = G_2(s) Y_1^*(s) = G_2(s) G_1^*(s) R^*(s)$$

$$\hookrightarrow Y_2^*(s) = G_2^*(s) Y_1^*(s) = G_2^*(s) G_1^*(s) R^*(s)$$

$$Y_2(z) = G_2(z) G_1(z) R(z) \Rightarrow \frac{Y_2(z)}{R(z)} = G_1(z) G_2(z)$$

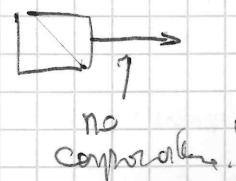
si sa che:

$$Y_2(s) = G_1(s) G_2(s) R^*(s) = G_{12}(s) R^*(s)$$

$$Y_2^*(s) = G_{12}^*(s) R^*(s)$$

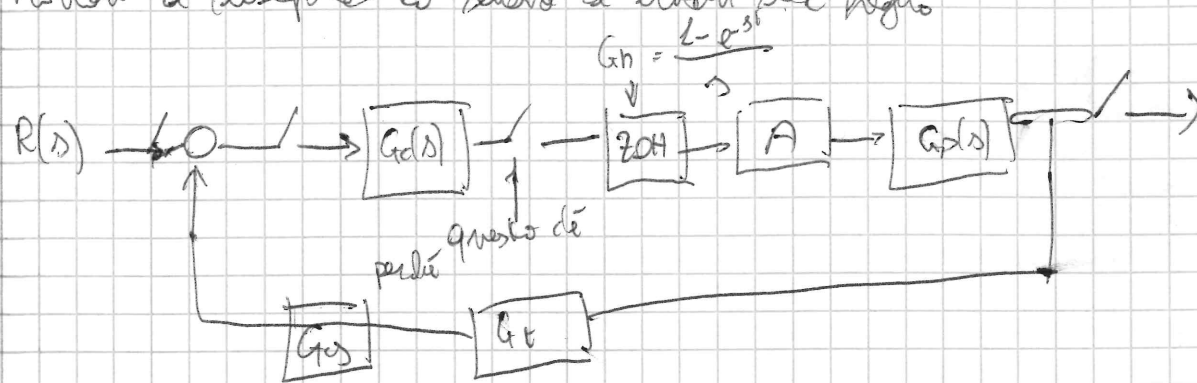
$$\Downarrow$$

$$Y_2(z) = G_{12}(z) R(z) \Rightarrow \frac{Y_2(z)}{R(z)} = G_{12}(z)$$



Nota: la trasformata del prodotto è diversa dal prodotto delle trasformate! senza il campionario, non funziona più nulla!

Provare a disegnare lo schema a blocchi del foglio

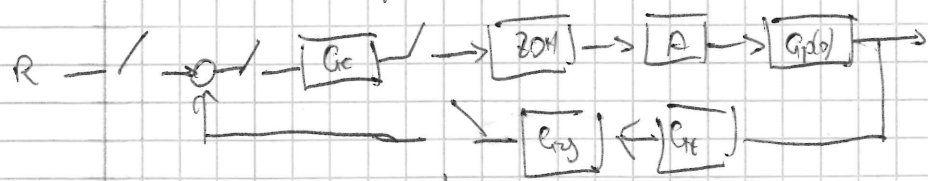


Problema da risolvere Cercare:

1) trovare la funzione di anello in "z",  $G_a(z)$

Si noti che, senza ~~controllatore~~ compensatore, il prodotto di ZOH, A, Gp ecc. NON È COME PRIMA!

Quò che si fa nel <sup>marginale</sup> contatore è ciò:

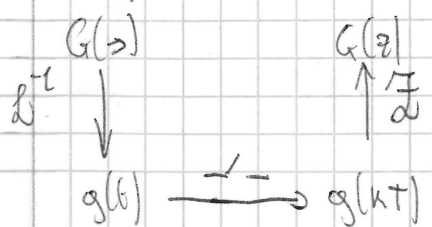


Si compara anche qui.  $G_a(z) = ?$

6.18) Z-transformata di funzioni contenenti ZOH

Si vuole passare da una carta  $G(s)$  a una carta  $G(z)$ , per progettare un controller digitale.

Il punto che idealmente si fa è: immaginarsi di partire da G, la trasformata Z di essa, di un sistema, e immaginare di partire da  $G(s)$ , tenere su  $g(t)$ , campionare e ottener  $g(kT)$ , dunque passare alla Z.



Questo è un problema che spesso si pone.

Si pone inoltre il problema di trovare le Z-transformate di funzioni che contengono filtri ZOH.

Supponiamo che:

$$X(s) = \frac{1 - e^{-sT}}{s} G(s) \xrightarrow{Z} X(z)$$

A noi interessa trovare  $X(z)$

l'è un risultato che dice che:

$$X(z) = (1-z)^{-1} Z \left\{ \frac{G(s)}{s} \right\}$$

6.9) Scelta del tempo di campionamento }  
VEDIAMO DOMANI

6.10) Metodi di discretizzazione

Si sono alcuni metodi di discretizzazione. Vediamo.

6.10.1) Metodo di invarianza della risposta all'impulso (Z-transformata)

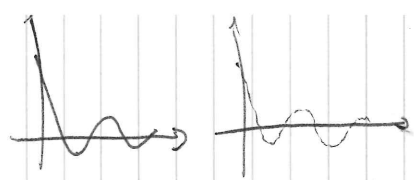
Data una funzione (ci si carichi in di esso, non mi seguì), ci si deve porre il problema di come trasferire le funzioni alla var. campione e alla variabile complessa z.

Questo metodo consiste in ciò: data una  $F(s)$ , e per  $F(z)$  si ottiene per  $F(z)$ :

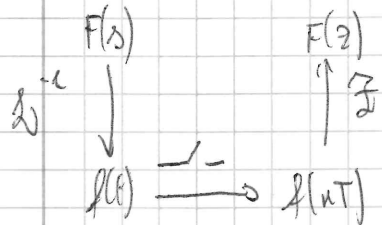
$$F(s) \Rightarrow F(z) = Z \{ F(s) \}$$

Questo metodo garantisce che se si sabbia il sistema <sup>a tempo continuo</sup>  $F(s)$  ~~o~~  $F(z)$  <sup>con un impulso</sup>.

Tempo discreto e andremo nel sistema a tempo discreto,  $F(z)$ , ciò che viene garantito è che i due sistemi negli istanti di campionamento avranno gli stessi valori.



"In che senso" due sistemi, uno a TD e uno a TC sono equivalenti?  
 Beh, se il sistema è ottenuto con la Z-transform, i sistemi sono equivalenti nel senso che presentano gli stessi valori negli istanti campionati.

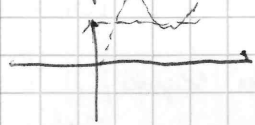
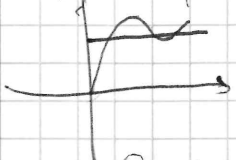


Cio' che si deve notare è: con una rampa, un gradino, non si può dire niente!

9.2.2) Metodo di invarianza della risposta al gradino

Si passa da  $F(s)$  a  $\bar{F}(z)$

Vogliamo qualcosa del genere:



Si vuole un metodo di discretizzazione che faccia credere, negli istanti di campionamento, le risposte al gradino?

data  $F(s)$  che si vuole discretizzare, si farà così:

$$\mathcal{L}^{-1} \left\{ \frac{1}{s} F(s) \right\} \Big|_{t=kT} = \mathcal{L}^{-1} \left\{ \frac{1}{1-z^{-1}} \bar{F}(z) \right\}$$

Queste due devono ~~essere~~ coincidere!

Cos'è  $\bar{F}(z)$ ? Beh, Z-transformazione!

$$\Rightarrow \frac{1}{1-z^{-1}} \bar{F}(z) = \mathcal{L} \left\{ \mathcal{L}^{-1} \left\{ \frac{1}{s} F(s) \right\} \right\} \Big|_{t=kT}$$

Dunque:

$$\bar{F}(z) = (1-z^{-1}) \mathcal{L} \left\{ \mathcal{L}^{-1} \left\{ \frac{F(s)}{s} \right\} \right\} \Big|_{t=kT}$$

Si noti che <sup>questo metodo</sup> ciò è stato prima visto per funzioni di trovare la  $G_d(z)$  per blocchi ZOH.

Questo metodo di discretizzazione garantisce la stessa risposta al gradino.

È inoltre un metodo che si usa se nella funzione c'è lo ZOH!

Lo si può fare con MATLAB, con:

"C2D" o "Continuous to Discrete"

Dato la funzione che si vuole discretizzare, e il periodo (vedi help), si è a posto!

Esempio, metodo 'ZOH'!

Matlab restituisce una  $G(z)$  con questo caratteristico!

9.1.3) Metodo di trasposizione zeri-poli (matched)

L'idea è: data una  $G(s)$  funzione qualsiasi, quel che si fa è vedere la trasformazione  $z = e^{sT}$ , quindi, si perdono gli zeri di  $G$  e si trasferiscono questi; si perdono i poli e si trasferiscono; si impara di i guadagni ottenibili dalle due funzioni non gli stessi.

Questo metodo mantiene anche bene le caratteristiche in frequenza,

lungho è SICCURISSIMO quando si discretizza un controllore.

Si usi C2D con appunto 'matched'.